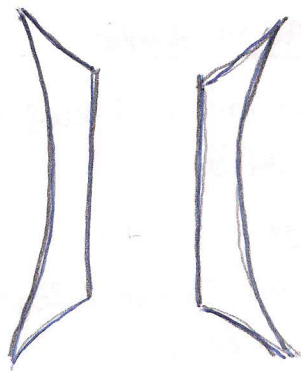


Σ ΗΜΑΤΑ



ΠΕΡΙΕΧΟΜΕΝΑ

1. Εισαγωγή

Αντικείμενο, Fourier, Laplace, Z, Systems, Συναρτήσεις μετασχηματισμοί

[1-4]

2. Δειγματοληψία κ' Ανακατασκευή

Ψηφιακή Συχνότητα, Δειγματοληψία, Αναδιάρθρωση, DFT, Θεώρημα Shannon, Ανακατασκευή

[5-12]

3 DFT κ' Συνεχιστικά Αθροίσματα

DFT, DFT Misc, DFT ιδιότητες, FFT, Κυκλική Συνέλιξη, Γραμμική Συνέλιξη.

[13-20]

4 Εισαγωγή στα φίλτρα

Γενικά, Ιδανικές προδιαγραφές, Προσεγγισιόν Ιδανικών χαρακτηριστικών, μεταβατικά φαινόμενα

[21-26]

5 FIR Φίλτρα

Συχνότητα Αποκρίση, Ελαχιστοποίηση Σφάλματος, Σχεδιασμοί με Παράθεση, Σχεδιασμοί με Ζώνες Αδιαφορίας, Ελαχιστοποίηση E^2 με φίλτρα, MinMax προσέγγιση

[27-32]

6 IIR Φίλτρα

Εισαγωγή, Butterworth, Chebyshev, Μετασχηματισμοί Συχνότητας, Ψηφιακά IIR φίλτρα

[33-38]

7 Ειδικά Ψηφιακά Φίλτρα

Φίλτρα ελαστικής, Διαφοριστές, Ολοκληρωτές

[39-40]

8 Πιθανότητες

Κατασκευασμένες Πιθανότητες, Ροές, Παράδειγμα Τυχαίες Μεταβλητές, Νομοί της Στατιστικής

[41-44]

9 Στοχαστικά Σήματα και Φίλτρα Wiener

Στοχαστικά Σήματα, Στατιστικές 1^{ης} κ' 2^{ης} τάξης, Φάσμα Ισχύος, Λευκός Θόρυβος, Εργατικότητα, Επίδραση ΓΧΑΣ, Βελτιστογραφικό Φίλτρο Wiener, Φίλτρα Wiener.

[45-52]

1 ΕΙΣΑΓΩΓΗ

1.1 Ανακείμενο

Κάθε σήμα αποτελείται από πληροφορία και θόρυβο
Βρίσκω το συχνοτικό περιεχόμενο του σήματος με βέβαια. Fourier

Βασική Υπόθεση Το σήμα πληροφορίας και το σήμα θορύβου
δεν περιέχουν κοινά συχνοτικά

1.2 Fourier Transform

Ορίζεται από τις σχέσεις:

$$F\{x(t)\} = X(j\omega) = \int_{-\infty}^{+\infty} x(t) e^{-j\omega t} dt$$

$$F^{-1}\{X(j\omega)\} = x(t) = \frac{1}{2\pi} \int_{-\infty}^{+\infty} X(j\omega) e^{j\omega t} dt$$

Μερικές από τις βασικές ιδιότητες είναι:

- Γραμμικότητα $a x(t) + b y(t) \xrightarrow{F} a X(j\omega) + b Y(j\omega)$
- Χρ. Ομίσηση $x(t - t_0) \xrightarrow{F} e^{j\omega t_0} X(j\omega)$
- Συχν. Ομίσηση $e^{j\omega_0 t} x(t) \xrightarrow{F} X(j(\omega - \omega_0))$
- Χρ. Παράγωγιση $x^{(n)}(t) \xrightarrow{F} (-j\omega)^n X(j\omega)$
- Συχν. Παράγωγιση $t^n x(t) \xrightarrow{F} j^n X^{(n)}(j\omega)$
- Χρ. Κλίσηση $x(\alpha t) \xrightarrow{F} \frac{1}{|\alpha|} X(j\frac{\omega}{\alpha})$
- Θ. Parseval $\int_{-\infty}^{+\infty} |x(t)|^2 dt = \frac{1}{2\pi} \int_{-\infty}^{+\infty} |X(j\omega)|^2 d\omega$
- Συνελξη $x(t) * y(t) \xrightarrow{F} X(j\omega) Y(j\omega)$

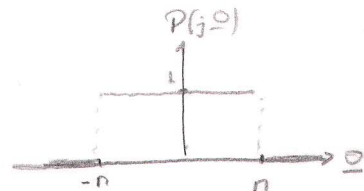
1.2.1 sinc

Μία πολύ σημαντική απάντηση στην επεξεργασία σήματος

Ορίζεται ως
$$\text{sinc}(t) = \frac{\sin(\pi x)}{\pi x} = \prod_{n=1}^{+\infty} \left(1 - \frac{x^2}{n^2}\right)$$

Ισχύουν επίσης ω εως: - περιορισμένη απάντηση

• $\text{sinc}(t) \xrightarrow{F} P(j\omega) = \begin{cases} 1, & -\pi \leq \omega \leq \pi \\ 0, & \text{αλλού} \end{cases}$



• Για $t = 0$, $\text{sinc}(t) = 1$

• Για $t = \pm 1, \pm 2, \dots$, $\text{sinc}(t) = 0$

1.2.2 Σειρά Fourier

Αν η $x(t)$ είναι περιοδική συνάρτηση με περίοδο T_0 τότε

$$x(t) = \sum_{n=-\infty}^{+\infty} C_n e^{jn\omega_0 t}$$

$$\text{με } C_n = \int_{t_0}^{t_0+T_0} x(t) e^{-jn\omega_0 t} dt$$

1.3 Laplace Transform

Ορίζεται από την σχέση

$$\mathcal{L}_s \{ x(t) \} = X(s) = \int_{\alpha}^{+\infty} x(t) e^{-st} dt$$

$$\text{όπου } s = \alpha + j\omega$$

Για τον Μετασφ. Laplace ισχύουν ίδιες σχέσεις με τον Μετασφ. Fourier

- Γραφικότητα, Χρ. και s οριζόντια, παράκλιση, συνεχία
- Θ. Αρχικές Τιμές $x(0^+) = \lim_{s \rightarrow \infty} sX(s)$
- Θ. Τελικές Τιμές $x(\infty) = \lim_{s \rightarrow 0} sX(s)$

1.4 Z Transform

Εδώ πηγαίνει με σειρά διακριτού χρόνου x_n , $n \in \mathbb{Z}$

Ορίζεται από την σχέση

$$\mathcal{Z}_z \{ x_n \} = X(z) = \sum_{n=-\infty}^{+\infty} x_n z^{-n}$$

$$\text{όπου } z = r e^{j\phi} = r e^{j(\omega t + \theta)}$$

Μερικές από τις ιδιότητες του είναι

- Γραφικότητα
- Χρ. Οριζόντια $x_{n-n_0} \xrightarrow{\mathcal{Z}} z^{-n_0} X(z)$
- Συν. Οριζόντια $a^n x_n \xrightarrow{\mathcal{Z}} X(a^{-1}z)$

1.5 Systems Theory

Ασχολούμαστε με ΓΧΑ Συστήματα. Αυτά έχουν βασικές ιδιότητες:

- Η συμπεριφορά τους εισόδου $x(t)$ περιγράφεται από το στέρεο

$$y(t) = x(t) * h(t) = \int_{-\infty}^{+\infty} x(t-\tau) h(\tau) d\tau$$

όπου $h(t)$ είναι η κρουσική απόκριση του συστήματος, η έξοδος του διακριτού όταν ως είσοδο δίνει την $\delta(t)$

□ Μπορώ να ερμηνεύσω το αποτέλεσμα ως εξής: η έξοδος είναι ένας weighted average της εισόδου $x(t)$

- Αν $h(t) = 0 \quad \forall t < 0$ τότε το σύστημα είναι αιτιατό, η έξοδος δηλαδή εξαρτάται μόνο από προηγούμενες εισόδους. Τα αιτιατά συστήματα είναι τα πιο εύκολα αναλυσιζήτα

- BIBO-stability Ένα ΓΧΑΣ Θ είναι BIBO-ευσταθές αν για φραγμένη είσοδο μας δίνει φραγμένη έξοδο. Ικανή και αναγκαία συνθήκη για αυτό είναι $\|h(t)\|_1 < \infty \Leftrightarrow \int_{-\infty}^{+\infty} |h(t)| dt < \infty$

1.5.1 Transfer Function

Για τα ΓΧΑ Συστήματα ισχύει $y(s) = H(s) X(s) \Leftrightarrow H(s) = \frac{y(s)}{X(s)}$

(αντί για τα διακριτού κρουθ $H(z) = \frac{y(z)}{X(z)}$)

Η $H(s)$ κερδίζει απόκριση συχνότητας και μπορεί να ελεγχθεί εύκολα από το διαφορική εξίσωση που περιγράφει το αντίστοιχο ΓΧΑΣ (υπόκειται πάντα)

Σε γενική περίπτωση η transfer function Θ είναι πάντα αναπαράσταση της μορφής:

$$H(s) = \frac{a_N s^N + a_{N-1} s^{N-1} + \dots + a_1 s + a_0}{b_M s^M + b_{M-1} s^{M-1} + \dots + b_1 s + b_0} \quad (\text{αντί } H(z))$$

$$= \frac{P(s)}{Q(s)}$$

• Επίσης πριν $\deg(P(s)) < \deg(Q(s))$ αλλιώς η $h(t)$ θα παραγωγιστεί ως $\delta(t)$ και απειριστεί

- τα s_i τ.ω $P(s_i) = 0$ ονομάζονται μυδικοί
- τα s_j τ.ω $Q(s_j) = 0$ ονομάζονται κόμβοι

Για να έχω αιτιατά ευσταθές σύστημα πρέπει: \rightarrow continuous: όλοι οι πόλοι $p_i, \text{Re}\{p_i\} < 0$
 \rightarrow discrete: όλοι οι πόλοι p_i να βρίσκονται εσωτ. του μοναδιαίου κύκλου

1.6 Συνθήκες Μετασχηματισμού

• Fourier

$$\delta(t) \xrightarrow{F} 1 \quad \delta(t-t_0) \xrightarrow{F} e^{-j\omega t_0}$$

$$e^{-\alpha t} u(t) \xrightarrow{F} \frac{1}{j\omega + \alpha}$$

• Laplace

$$\delta(t) \xrightarrow{L} 1$$

$$u(t) \xrightarrow{L} 1/s$$

$$e^{-\alpha t} u(t) \xrightarrow{L} \frac{1}{s + \alpha}, \operatorname{Re}\{s\} > -\alpha$$

• Z

$$\delta[n] \xrightarrow{Z} 1$$

$$u[n] \xrightarrow{Z} \frac{z}{z-1} = \frac{1}{1-z^{-1}}$$

$$z^{-\alpha} u[n] \xrightarrow{Z} \frac{z}{z-\alpha} = \frac{1}{1-\alpha z^{-1}}$$

2 ΔΕΙΓΜΑΤΟΛΗΨΙΑ Κ' ΑΝΑΚΑΤΑΣΚΕΥΗ

2.1 Ψηφιακή Συχνότητα

Στον συνεχί χρόνο έχω:

Περίοδος T sec, συχνότητα $f = \frac{1}{T} \cdot \text{Hz} = \frac{\text{αναπληφεις}}{\text{sec}}$

κυκλική συχνότητα $\omega = \frac{2\pi}{T}$, $\omega = 2\pi f$

Στον δискрет χρόνο έχω:

Περίοδος N δείγματα, συχνότητα $f = \frac{1}{N}$, κυκλ. συχνότητα $\omega = 2\pi f$

• $\omega \in [-\pi, \pi]$

Αν: έχω $N \in \mathbb{Z}$. Για να δημιουργήσω κωδωνί στο σήμα, πρέπει να έχω τουλάχιστον 2 δείγματα/περίοδο (αλλιώς θα είχα σταθερό σήμα)

Άρα $N \in [2, +\infty)$ και συνεπώς $f = \frac{1}{N} \in [0, \frac{1}{2}]$

$\omega = \frac{2\pi}{N} \in [0, \pi]$

Αν θεωρήσω και αρνητικές συχνότητες, $\omega \in [-\pi, \pi]$

2.2 Δειγματοληψία

Βασικές Έννοιες

Στον κλασική (αναλογική) δειγματοληψία παίρνω ένα δείγμα κάθε κάποιο συγκεκριμένο χρονικό διάστημα. Το χρονικό διάστημα που μεσολαβεί λόγω εωφέρεται σε 2 διαδοχικά δείγματα ονομάζεται περίοδος δειγματοληψίας T_s

Αντίστοιχα προκύπτει και η συχνότητα δειγματοληψίας $f_s = \frac{1}{T_s}$

Προκύπτει λοιπόν το δискрет χρόνου σήμα

$$x[n] = x(nT_s), \quad n \in \mathbb{Z}$$

Συχνότητες Δειγματοληπτού Σήματος

Το Δ περιέχει σε $\frac{\text{κύκλους}}{\text{δείγμα}}$. Αν θέλουμε να βρούμε το αναλογικό του αντίστοιχο θα πρέπει να είναι κύκλους/sec . Από όφως Δ δείγμα και δε T_s , έχω:

$$f = A \frac{1}{T_s} = A f_s \Leftrightarrow \underline{f = A f_s}$$

Από όφως $A \in [-\frac{1}{2}, \frac{1}{2}]$ τότε $f \in [-\frac{f_s}{2}, \frac{f_s}{2}]$

Συνεπώς οι συχνότητες του δειγματοληπτού σήματος δεν μπορούν να υπερβούν το μισό της συχνότητας δειγματοληψίας

2.3 Αναδίπλωση

Πρόβλημα 1 "Δειγματοληψία με $f_s < f_0$ "

Έστω πως $x_1(t) = \cos(2\pi f_0 t)$ δειγματοληπτείται με T_s . Θα προκύψει το σήμα $x_1[n] = \cos(2\pi f_0 n T_s) = \cos(2\pi f_0 n)$

Έστω πως δειγματοληπτού το $x_2(t) = \cos(2\pi f_0' t)$ με ρυθμό f_s . Θα προκύψει αντίστοιχα το $x_2[n] = \cos(2\pi f_0' n T_s) = \cos(2\pi f_0' n)$

$$\text{Έχω } \cos x_1[n] = x_2[n] \Leftrightarrow \cos(2\pi \frac{f_0}{f_s} n) = \cos(2\pi \frac{f_0'}{f_s} n)$$

$$\Leftrightarrow f_0' = f_0 \pm \left[\frac{f_0}{f_s} \right] f_s$$

$$\text{ή } f_0' = f_0 \pm [f_0]$$

$[x] =$ ακεραίο μέρος του x

$$\text{Αφού τότε } \cos(2\pi \frac{f_0'}{f_s} n) = \cos(2\pi \frac{f_0 \pm \left[\frac{f_0}{f_s} \right] f_s}{f_s} n)$$

$$= \cos(2\pi \frac{f_0}{f_s} n \pm 2\pi \frac{[f_0]}{f_s} n) = \cos(2\pi \frac{f_0}{f_s} n)$$

Άρα αν ένα σήμα περιέχει και τις δύο συχνότητες f_0, f_0' και $\left[\frac{f_0}{f_s} \right] > 0 \Leftrightarrow f_0 > f_s$, αυτές οι συχνότητες θα αναδιπλωθούν πολλαπλασιασμού και το σήμα που θα προκύψει δεν θα είναι όμοιο

Πρόβλημα 2 "Δεχόμαστε ληφίτζ με $f_s > f_0$ και $f_s < 2f_0$ "

Εδώ μέτρον $\left[\frac{f_0}{f_s} \right] = 0$ άρα δεν ανυψωνόμαστε το ίδιο προβληματικά πριν.

Ακολουθώντας την ίδια διαδικασία, φερόμε τα $x_1[n]$, $x_2[n]$ και προκύπτει η εξής συνθήκη:

$$x_1[n] = x_2[n] \Leftrightarrow \dots \Leftrightarrow f_0' = f_s - f_0$$
$$\text{ή } f_0' = 1 - f_0$$

δηλαδή εδώ μπορεί να βρω καινού ακεραία πολλαπλασιαστικά της συχνότητας του σήματος μου, αλλά η συχνότητα μου θα ανεβει πάνω ή κάτω να γίνει μικρότερη από $f_s/2$ (αφού $\frac{f_s}{2} < f_0 < f_s$, $f_s - f_0 \in (0, \frac{f_s}{2}]$)

→ Παράδειγμα → Βιβλίο, σελ. 12

Εστω $x(t) = \cos(2\pi \cdot 1.8t) + 0.3 \cos(2\pi \cdot 5.2t)$

Άρα έχω $f_1 = 1.8$, $f_2 = 5.2$

Αν δειγματοληπτούμε με $T_s = 1 \Leftrightarrow f_s = 1$ τότε

• Αναδίπλωση f_1 : $1.8 - 1 = 0.8 \rightarrow 1 - 0.8 = 0.2$
Αφού $f_s < f_1$ καινού πολλαπλασιαστικά f_s Εδώ $f_1 > f_s/2$ άρα θα φέρω το σήμα μου ως προς $f_s/2$

• Αναδίπλωση f_2 $5.2 - 5 = 0.2$

Άρα $x[n] = \cos(2\pi \cdot 0.2n) + 0.3 \cos(2\pi \cdot 0.2n) = 1.3 \cos(2\pi \cdot 0.2n)$

Παρ. 1 Αν υπάρξει αναδίπλωση δεν μπορεί να γοργίω στο αρχικό $x(t)$

Παρ. 2 Αν υπάρξει αναδίπλωση, μπορεί θύρολος κ' πληροφορία να αναδίπλωθούν στην ίδια συχνότητα → καταστροφή.

Παρ. 3 Εν δυνάμει, για απειρία από σήματα μπορούν να ανεγερσώχιστούν στο ίδιο σήμα για δεδομένη συχνότητα δειγματοληψίας

2.4 Discrete Time Fourier Transform

Στον συνεχή χρόνο, για το αναλογικό σήμα $x(t)$ έχω:

$$F\{x(t)\} = X(j\omega) = \int_{-\infty}^{+\infty} x(t)e^{-j\omega t} dt$$

Εστώ τώρα το σήμα $x[n] = x(nT_s)$. Ορίσω του πεπεωκημενoυ Fourier Διακριτού χρόνου ως εξής:

$$F\{x[n]\} = X(e^{j\omega}) = \sum_{n=-\infty}^{+\infty} x[n] e^{-j\omega n}$$

$$F^{-1}\{X(e^{j\omega})\} = x[n] = \frac{1}{2\pi} \int_{-\pi}^{\pi} X(e^{j\omega}) e^{j\omega n} d\omega$$

Παρατηρώ ως εξής διαφορές μεταξύ των δύο πεπεωκημενoυ Fourier συνεχούς κ' αναλογικού χρόνου:

- Ο DTF είναι πεπεωκημeνoς ω
- Στον CTF, $\omega \in (-\infty, +\infty)$ ενώ στον DTF, $\omega \in [-\pi, \pi]$
- Ο DTF είναι περιοδική συνάρτηση με περίοδο 2π
αφού $e^{j(\omega+2\pi k)n} = e^{j\omega n}$ άρα $X(e^{j(\omega+2\pi k)}) = X(e^{j\omega})$
- Ο DTF είναι ειδική περίπτωση του πεπεωκημeνoυ Z , για $r=1 \rightarrow z = e^{j\omega}$

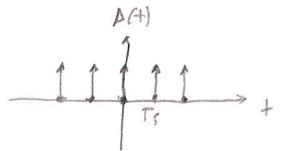
Σχέση DTFT - CTFT

Ισχύει:

$$X(e^{j\omega}) = \frac{1}{T_s} \sum_{n=-\infty}^{+\infty} X(j(\omega - \frac{2n\pi}{T_s}))$$

Αν: Εστώ $\Delta(t) = \sum_{n=-\infty}^{+\infty} \delta(t - nT_s)$. Η $\Delta(t)$ είναι περιοδική άρα άνω σειρά

Fourier row: $\Delta(t) = \frac{1}{T_s} \sum_{n=-\infty}^{+\infty} e^{-j\frac{2n\pi}{T_s}t}$ (1)



Ενώ $x(t)\Delta(t) = \sum_{n=-\infty}^{+\infty} x(t)\delta(t - nT_s) \stackrel{\text{delta property}}{=} \sum_{n=-\infty}^{+\infty} x(nT_s)\delta(t - nT_s) = \sum_{n=-\infty}^{+\infty} x[n]\delta(t - nT_s)$ (2)

Τώρα: $F\{x(t)\Delta(t)\} \stackrel{(2)}{=} \sum_{n=-\infty}^{+\infty} x[n] e^{-jn\omega T_s} = X(e^{j\omega})$

Ενώ: $F\{x(t)\Delta(t)\} \stackrel{(1)}{=} \frac{1}{T_s} \sum_{n=-\infty}^{+\infty} F\{x(t)e^{j\frac{2n\pi}{T_s}t}\} = \frac{1}{T_s} \sum_{n=-\infty}^{+\infty} X(j\omega - j\frac{2n\pi}{T_s})$
ήτοι μεν
συκν. άνωθεν

DTFT και Αναδίπλωση

Είδαμε λοιπόν πως $X(e^{j\omega}) = \frac{1}{T_s} \sum_{n=-\infty}^{+\infty} X(j\frac{\omega - 2n\pi}{T_s})$

$$= \underbrace{\frac{1}{T_s} X(j\frac{\omega}{T_s})}_{n=0} + \underbrace{\frac{1}{T_s} X(j\frac{\omega - 2\pi}{T_s})}_{n=1} + \underbrace{\frac{1}{T_s} X(j\frac{\omega + 2\pi}{T_s})}_{n=-1} + \dots$$

Άρα ο $X(e^{j\omega})$ αποτελείται από αδροθεμένες κατά 2π επαναλήψεις του ίδιου κεντρικού άρου $\frac{1}{T_s} X(j\frac{\omega}{T_s})$

• Για το πως συμβαίνει η αναδίπλωση (σφραγές κτλ) βλ. Βιβλίο σελ. 15

• Αν $\omega \in (-\infty, +\infty)$ τότε συμβαίνει πάντα αναδίπλωση.

Γενική αντίληψη

Εστω το $|X(j\omega)|$

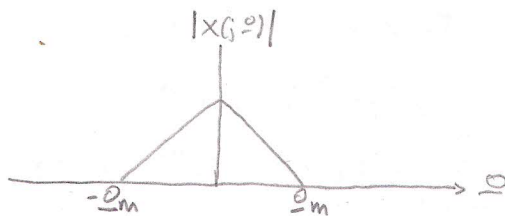
Τότε διαδράση $X(e^{j\omega}) = \frac{1}{T_s} \sum X(j\frac{\omega - n\omega_s}{T_s})$

Για όχι επικάλυψη, δηλ $\omega_s = \omega_m > \omega_m \Rightarrow \omega_s > 2\omega_m$

2.5 Θεωρημα Δειγματοληψίας

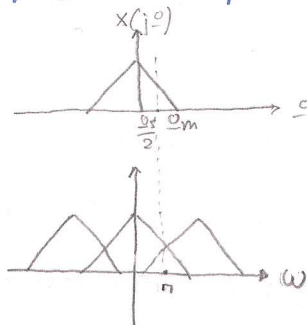
Θ. Shannon Για να μην έχω απώλεια πληροφορίας κατά την δειγματοληψία και ανενός να μπορώ να ανακατασκευάσω το $x(t)$ από το $x[n]$ πρέπει να δειγματοληψιέσω με $f_s \geq 2f_m$, όπου f_m η μέγιστη συχνότητα του $x(t)$

Ερμηνεία Εστω λοιπόν πως έχω το $x(t)$ με μέγιστη συχνότητα f_m (αντ. ω_m) και τον πλάσ. Fourier του $X(j\omega)$. Άρα θα έχω την μορφή



Αυθαι πάλι θεωρώ τριγωνική μορφή, έχω όμως πάντα άρρα σύμμετρο

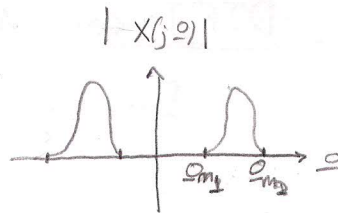
Αν δειγματοληψιέσω με $f_s < 2f_m \Rightarrow \omega_s < 2\omega_m$ τότε αφού ο $X(e^{j\omega})$ είναι άθροισμα άρρων shift-αριθμικών κεντρικών άρων $X(j\omega)$ θα έχω αναδίπλωση:



Άρα δεν συμβαίνει αν $f_s > 2f_m$!

Γενίκευση του Θ. Δειγματοληψίας

Στο Θ. Shannon θεωρούμε πως το σήμα περιέχει συχνοότητες στο διάστημα $[0, f_m]$. Αν όμως περιέχει στο $[f_{m1}, f_{m2}]$?



Γενίκευση Θ. Δειγματοληψίας Αν το $x(t)$ περιέχει συχνοότητες $[f_{m1}, f_{m2}]$ και $k = \left\lfloor \frac{f_{m2}}{f_{m2} - f_{m1}} \right\rfloor > 0 \Leftrightarrow f_{m1} \leq f_{m2} \leq 2f_{m1}$ τότε πρόκειται και ως δειγματοληψία κωπιδωπών ημιτονοειδών με $f_s \in \left[\frac{2f_{m2}}{k+1}, \frac{2f_{m1}}{k} \right] \cup \dots \cup \left[\frac{2f_{m2}}{2}, \frac{2f_{m1}}{1} \right] \cup [2f_{m2}, \infty)$

2.6 Ανακατασκευή

Έστω πως έχω δειγματοληψήσει το $x(t)$ με $f_s \geq 2f_m$ και έχω πάρει το $x[n]$

Είδαμε στο 2.4 πως ισχύει $X(e^{j\omega}) = \frac{1}{T_s} \sum_{n=-\infty}^{\infty} X(j\frac{\omega - 2\pi n}{T_s})$

Από δοσμένα αντιστρέφω, μπορώ να γράψω

$$X(j\frac{\omega}{T_s}) = \begin{cases} T_s X(e^{j\omega}) & , -\pi \leq \omega \leq \pi \\ 0 & \text{αλλού} \end{cases}$$

Αν τώρα $P(j\omega) = F\{\text{sinc}(t)\}$ τότε η παραπάνω σχέση γράφεται:

$$X(j\frac{\omega}{T_s}) = T_s X(e^{j\omega}) P(j\omega) =$$

$$\text{DFT} \Rightarrow X(j\frac{\omega}{T_s}) = T_s X(e^{j\omega}) P(j\omega)$$

$$\text{DFT} \Rightarrow X(j\frac{\omega}{T_s}) = \sum_{n=-\infty}^{\infty} x[n] e^{-jn\frac{\omega}{T_s}} T_s P(j\frac{\omega}{T_s})$$

$$F^{-1} \Rightarrow x(t) = \sum_{n=-\infty}^{\infty} x[n] F^{-1}\{e^{-jn\frac{\omega}{T_s}} T_s P(j\frac{\omega}{T_s})\}$$

1. Διορίζω Fourier
κρίσεων και
ορίστηκαν

$$x(t) = \sum_{n=-\infty}^{\infty} x[n] \text{sinc}\left(\frac{t}{T_s} - n\right)$$

Η επημέλεια της παραπάνω σχέσης είναι αυτή:

- Αφού για $t \in \{\pm 1, \pm 2, \dots\}$ $\text{sinc}(t) = 0$ και $\text{sinc}(0) = 1$, σε κάθε ορθό δειγματοληψία nT_s , $n=0, \pm 1, \dots$ επιμερίζεται η συνεισφορά στο άπειρο άθροισμα των δειγμάτων εκτός από το δείγμα που κυριάρχει στη χρονική στιγμή αυτή.
- Σε κάθε άλλη χρονική στιγμή, όλα τα δείγματα συνεισφέρουν στο ανακατασκευασμένο σήμα με ποσοστό που καθορίζεται από το sinc . Αυτό προκύπτει πως κάθε $x(t_i)$ είναι γραμμικός συνδυασμός των $x[n]$ που ισχύει από το γεγονός πως $f_m < \infty$!

2.6.1 Αξέλις Ανακατασκευής

Είδαμε πως μπορούμε να κάνουμε τέλεια ανακατασκευή με $x(t) = \sum_{n=-\infty}^{+\infty} x[n] \text{sinc}(\frac{t}{T_s} - n)$

Όμως ανακατασκευάζοντας τα είναι προβλήματα:

- Όλα τα δείγματα συνεισφέρουν στην ανακατασκευή καθώς $t_i \neq nT_s$

Αρα \rightarrow πρέπει να έχω όλα τα δείγματα στην διάθεση μου

\rightarrow Άπειρος χρόνος υπολογισμού, άπειρη μνήμη

Συνεπώς θα χρησιμοποιήσω άλλη ανάλυση ανακατασκευής, με το ίδιο σκεπτικό και θα πάρω μια προσέγγιση $\hat{x}(t)$ του σήματος $x(t)$, λοιπός:

$$\hat{x}(t) = \sum_{n=-\infty}^{+\infty} x[n] \phi(\frac{t}{T_s} - n)$$

Αν η $\phi(t)$ είναι πεπερασμένη χρονική διάρκεια, χρησιμοποιούνται στην ανακατασκευή πεπερασμένος αριθμός δειγμάτων.

Λοιπίδες $\phi(t)$

Κληρακωτή: $\phi(t) = \begin{cases} 1, & |t| \leq 0,5 \\ 0 & \text{άλλου} \end{cases}$

Πεπερασμένη sinc: $\phi(t) = \begin{cases} \text{sinc}(t), & -k \leq t \leq k \\ 0 & \text{άλλου} \end{cases}$

B-spline

Ταξής 0: $\phi_0(t) = \begin{cases} 1, & |t| \leq 0,5 \\ 0 & \text{άλλου} \end{cases}, \quad \phi_0(j \cdot 0) = \frac{\text{sinc}(0/2)}{0/2}$

Ταξής 1: $\phi_1(t) = \begin{cases} 1-|t|, & |t| \leq 1 \\ 0 & \text{άλλου} \end{cases}, \quad \phi_1(j \cdot 0) = \phi_0^2(j \cdot 0)$

⋮ ⋮ ⋮

Ταξής k: $\phi_k(t) = \underbrace{\phi_0(t) * \dots * \phi_0(t)}_{k+1 \text{ ανεξάρτητες}}, \quad \phi_k(j \cdot 0) = \phi_0^{k+1}(j \cdot 0)$

3 DFT Κ' ΣΥΝΕΛΙΚΤΙΚΑ ΑΘΡΟΙΣΜΑΤΑ

3.1 Discrete Fourier Transform

Ο DFT μας επιτρέπει να εμβαφύμε το συχνοεικό περιεχόμενο ακολουθίας Ν δειγμάτων (ή αντιστοίχως περιόδου Ν). Ο DFT ουσιαστικά δειγματοληπτεί τον DTFT σε Ν συχνοεικτές μέσα σε μια περίοδο. Αυτό μπορούμε να κάνω λόγω του:

→ Αν: βλ. 49, Βιβλίο

Θ. Γεωδυναμίας Συχνοεικών κ' Χρονικών Δειγμάτων

Αν δειγματοληπτήσω τον DTFT μιας πεπερασμένης ακολουθίας Ν δειγμάτων σε κατάλληλων Ν συχνοεικτές σε μια περίοδο, τότε από τα συχνοεικά δείγματα που θα προκύψουν μπορού να ανακτίσω τα χρονικά $x[n]$ κ' αντιστρόφως

Έστω λοιπόν πως έχω την ακολουθία $x[n]$, $n=0, \dots, N-1$ και του DTFT της που ισούται με $F\{x[n]\} = X(e^{j\omega}) = \sum_{n=-\infty}^{\infty} x[n]e^{-jn\omega} = \sum_{n=0}^{N-1} x[n]e^{-jn\omega}$

Διαλέγω Ν συχνοεικά σημεία στο $[0, 2\pi)$, τα $\omega_k = \frac{2\pi k}{N}$, $k=0, \dots, N-1$

Αν εμβαφίσω $X[k] = X(e^{j\omega_k})$ τότε έχω:

$$\begin{aligned} \underline{\text{DFT}}: \quad X[k] &= \sum_{n=0}^{N-1} x[n] e^{-j \frac{2\pi}{N} k n}, \quad k=0, \dots, N-1 \\ \underline{\text{DFT}^{-1}}: \quad x[n] &= \frac{1}{N} \sum_{k=0}^{N-1} X[k] e^{j \frac{2\pi}{N} k n}, \quad n=0, \dots, N-1 \end{aligned}$$

Αρα το αναστρέφω το DFT σε ακολουθία $x[n]$ Ν δειγμάτων είναι τα Ν συχνοεικά δείγματα $X[k]$

Αν ορίσω τώρα την μιγαδική σταθερά $W_N = e^{-j \frac{2\pi}{N}}$ τότε γράφω:

$$\begin{aligned} \text{DFT}: \quad X[k] &= \sum_{n=0}^{N-1} x[n] (W_N)^{nk} \\ \text{DFT}^{-1}: \quad x[n] &= \frac{1}{N} \sum_{k=0}^{N-1} X[k] (W_N^*)^{nk} \end{aligned}$$

3.2 DFT Misc

• DFT σε Μatrix Μορφή

Μπορούμε να γράψουμε το DFT:

$$\begin{bmatrix} X[0] \\ X[1] \\ \vdots \\ X[N-1] \end{bmatrix} = D_N \begin{bmatrix} x[0] \\ x[1] \\ \vdots \\ x[N-1] \end{bmatrix}$$

και DFT⁻¹:

$$\begin{bmatrix} x[0] \\ x[1] \\ \vdots \\ x[N-1] \end{bmatrix} = D_N^{-1} \begin{bmatrix} X[0] \\ X[1] \\ \vdots \\ X[N-1] \end{bmatrix}$$

όπου

$$D_N = \begin{bmatrix} 1 & 1 & 1 & \dots & 1 \\ 1 & W_N^1 & W_N^2 & \dots & W_N^{N-1} \\ \vdots & \vdots & \vdots & \ddots & \vdots \\ 1 & W_N^{(N-1)} & W_N^{2(N-1)} & \dots & W_N^{(N-1)(N-1)} \end{bmatrix} \quad \text{και} \quad D_N^{-1} = \frac{1}{N} D_N^*$$

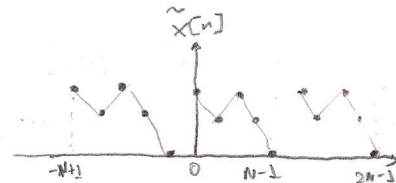
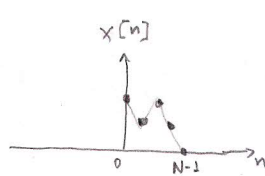
• Θεώρημα Parseval

Ισχύει

$$\sum_{n=0}^{N-1} (x[n])^2 = \frac{1}{N} \sum_{k=0}^{N-1} |X[k]|^2$$

• DFT και Διακριτές Σειρές Fourier (DFS)

Έστω η $x[n]$, $n=0, \dots, N-1$ και η περιοδική
επέκτασή της $\tilde{x}[n] = x[n \bmod N] = x[n]_N$, $n \in \mathbb{Z}$



Αφού η $\tilde{x}[n]$ είναι περιοδική, καθώς και το $e^{\pm j \frac{2\pi}{N} kn}$, η DFS έχει ίδιο εύρος με
του DFT, με τον διαφορά πως ορίζεται για $n, k \in \mathbb{Z}$. Από εδώ:

Σχέση Αναλύσεως:

$$\tilde{X}[k] = \sum_{n=0}^{N-1} \tilde{x}[n] e^{-j \frac{2\pi}{N} nk}, \quad n, k \in \mathbb{Z}$$

Σχέση Σύνθεσης:

$$\tilde{x}[n] = \sum_{k=0}^{N-1} \tilde{X}[k] e^{j \frac{2\pi}{N} nk}$$

• Συμμετρία DFT για $x[n] \in \mathbb{R}$

Αν $x[n] \in \mathbb{R}$ και $x[n] \xrightarrow{\text{DFT}} X[k]$ τότε

$$X[k] = X^*[-k]_N = X^*[N-k] \quad (1)$$

το οποίο σημαίνει:

$$\text{Re}\{X[k]\} = \text{Re}\{X[-k]_N\} \quad (2)$$

$$\text{Im}\{X[k]\} = -\text{Im}\{X[-k]_N\} \quad (3)$$

$$|X[k]| = |X[-k]_N| \quad (4)$$

$$\angle X[k] = -\angle X[-k]_N \quad (5)$$

Αν: Έχω $X[-k]_N = X[N-k] = \sum_{n=0}^{N-1} x[n] e^{-j\frac{2\pi}{N}n(N-k)} = \sum_{n=0}^{N-1} x[n] e^{-j\frac{2\pi}{N}(N-k)n} e^{-j\frac{2\pi}{N}Nn}$

$$= \sum_{n=0}^{N-1} x[n] e^{j\frac{2\pi}{N}kn} = \left(\sum_{n=0}^{N-1} x[n] e^{-j\frac{2\pi}{N}kn} \right)^* = X^*[k]$$

$x[n] \in \mathbb{R}$

Άρα $X^*[k] = X[N-k] = X[k] = X^*[N-k]$

Η (4) μας λέει πως το μέτρο του DFT είναι συμμετρικό ως προς $N/2$
 ενώ η (5) μας λέει πως η φάση του είναι αόμοσυμμετρική ως προς $N/2$.

π.χ Για $N=8$

$$\begin{aligned} |X[0]| &= |X[8-0]| = |X[8]| & \angle X[0] &= -\angle X[8] \\ |X[1]| &= |X[8-1]| = |X[7]| & \angle X[1] &= -\angle X[7] \end{aligned}$$

• Συμμετρία DFT για $x[n] \in \mathbb{G}$

Για τους ιδιότητες (και και τους) αναφέρετε με τις παραπάνω
 Βλ. Βιβλίο, σελ. 53

• Συμμετρικές κ' Αντισυμμετρικές $x[n] \in \mathbb{R}$

Αν $x[n] \in \mathbb{R}$ και $x[n] = x[N-n]$ ($= x[-n]_N$) τότε:

$$\text{Im}\{X[k]\} = 0$$

Αν $x[n] \in \mathbb{R}$ και $x[n] = -x[N-n]$ τότε

$$\text{Re}\{X[k]\} = 0$$

3.4 Fast Fourier Transform

Υπολογιστική Πολυπλοκότητα DFT

Από τον ορισμό του DFT, $X[k] = \sum_{n=0}^{N-1} x[n] e^{-j \frac{2\pi}{N} nk}$ παρατηρούμε πως αν θεωρήσουμε γνωστές τις ποσοότητες $e^{-j \frac{2\pi}{N} nk}$, $n=0, \dots, N-1$, τότε για τον υπολογισμό του $X[k]$ απαιτούνται N πολλαπλασιασμοί και $N-1$ προσθέσεις. Αν θεωρούσαμε ότι είναι όλα τα N συχνότητα δείγματα τότε απαιτούνται $O(2N^2) = O(N^2)$ πράξεις.

Για να μειώσουμε υπολογιστική πολυπλοκότητα θα εφαρμόσουμε την κλασική αλγοριθμική τεχνική του "Διαίρις κ' Ενώθισε".

3.4.1 Απόδειξη αλγορίθμου στον χρόνο * Για απόδειξη αλγορίθμου στον χρόνο, βλ. 66459 Βιβλίο για συχνά περασμένα, βλ. 66458 Βιβλίο

Έστω ακολουθία $x[n]$, $n=0, \dots, N-1$ και ο DFT της:

$$\begin{aligned}
 X[k] &= \sum_{n=0}^{N-1} x[n] e^{-j \frac{2\pi}{N} nk} = \\
 &= \sum_{n=0}^{N-1} x[n] (W_N)^{nk} \\
 &= \sum_{n=0}^{N/2-1} x[2n] (W_N)^{2nk} + \sum_{n=0}^{N/2-1} x[2n+1] (W_N)^{(2n+1)k} \\
 &= \sum_{n=0}^{N/2-1} g[n] (W_N^2)^{nk} + W_N^k \sum_{n=0}^{N/2-1} h[n] (W_N^2)^{nk} \\
 &= \sum_{n=0}^{N/2-1} g[n] (W_{N/2})^{nk} + W_N^k \sum_{n=0}^{N/2-1} h[n] (W_{N/2})^{nk} \\
 &= \text{DFT}\{g[n]\} + W_N^k \text{DFT}\{h[n]\} \\
 &= G[k] + W_N^k H[k]
 \end{aligned}$$

χωρίζω sum σε άρτιους κ' περιττους
 ορίζω τις ακολουθίες $g[n] = x[2n]$, $n=0, \dots, \frac{N}{2}-1$
 $h[n] = x[2n+1]$ " "
 $W_N^2 = e^{-j \frac{2\pi}{N} 2} = e^{-j \frac{2\pi}{N/2}} = W_{N/2}$

- Για να βρω το $X[k]$, $k=0, \dots, N-1$ πρέπει να βρω τα $G[k]$, $H[k]$, $k=0, \dots, N/2-1$.
- Όπως οι $g[n]$, $h[n]$ είναι περιοδικά $\frac{N}{2}$. Άρα $G[k] = G[\frac{N}{2} + k]$, $\text{Case: } H[k]$
- Πιο εύκολα μπορώ να δείξω πως ισχύει $W_N^k = -W_N^{k + \frac{N}{2}}$.

Συνεχίζουμε με το ίδιο σκεπτικό και αναλύουμε τις $g[n]$, $h[n]$ σε όσες και περσότερες υποακολουθίες, καταλήγουμε τελικά σε βάθος αναλύσεων $\log_2 N$, όπου πρέπει να υπολογίσω DFT μήκους 2 \rightarrow trivial.
 Κάθε επίπεδο χρειάζεται N πολλαπλασμούς άρα τελικά έχω $O(N \log N)$ πράξεις.

Με τον αναθεωρημένο στο χρόνο καταλήξαμε βολών όπως είπαμε

$$X[k] = G[k] + W_N^k H[k], \quad k=0, \dots, \frac{L}{2}-1$$

$$X[k] = G[k] - W_N^k H[k], \quad k=\frac{L}{2}, \dots, L-1$$

3.5 Κυκλική Συνέλιξη

Έστω ακολουθίες $x[n]$, $h[n]$, $n=0, 1, \dots, M-1$. Τότε ορίζουμε ως κυκλική συνέλιξη των $x[n]$, $h[n]$ την ακολουθία $y[n]$, επίσης μήκους M όπου:

$$\begin{aligned} y[n] &= x[n] \circledast h[n] = \sum_{\ell=0}^{M-1} x[\ell] h[n-\ell]_M, \quad n=0, \dots, M-1 \\ &= h[n] \circledast x[n] = \sum_{\ell=0}^{M-1} h[\ell] x[n-\ell]_M \end{aligned}$$

Βλέποντας βολικούς όρους της ακολουθίας παρατηρούμε:

$$y[0] = \sum_{\ell=0}^{M-1} h[\ell] x[-\ell]_M = h[0]x[0] + h[1]x[M-1] + \dots + h[M-1]x[1]$$

$$y[1] = \sum_{\ell=0}^{M-1} h[\ell] x[1-\ell]_M = h[0]x[1] + h[1]x[0] + \dots + h[M-1]x[2]$$

⋮

$$y[M-1] = \sum_{\ell=0}^{M-1} h[\ell] x[M-1-\ell]_M = h[0]x[M-1] + h[1]x[M-2] + \dots + h[M-1]x[0]$$

$$y[M] = \sum_{\ell=0}^{M-1} h[\ell] x[M-\ell]_M = \sum_{\ell=0}^{M-1} h[\ell] x[-\ell]_M = y[0]$$

Από τα παραπάνω βλέπουμε πως η κυκλική συνέλιξη έχει και αυτή μήκος M .

Επίσης μπορούμε να την γράψουμε σε βολική μορφή ως εξής:

$$\begin{bmatrix} y[0] \\ y[1] \\ \vdots \\ y[M-1] \end{bmatrix} = \begin{bmatrix} h[0] & h[M-1] & \dots & h[2] & h[1] \\ h[1] & h[0] & \dots & h[3] & h[2] \\ \vdots & \vdots & \ddots & \vdots & \vdots \\ h[M-1] & h[M-2] & \dots & h[1] & h[0] \end{bmatrix} \begin{bmatrix} x[0] \\ x[1] \\ \vdots \\ x[M-1] \end{bmatrix}$$

Ο τρόπος αυτός υπολογισμού της κυκλικής συνέλιξης απαιτεί χρόνο $O(M^2)$



• Σχέση * και DFT

Αντίστοιχα της σχέσης Μεταβ. Fourier κ' Γραμμικής Συνόλης, εδώ έχω:

$$x[n] * y[n] \xrightarrow{DFT} X[k] Y[k], \quad k=0, \dots, M-1$$

Αν: Βλ. ΒΙΒΛΙΟ, σελ. 65. Αντίστοιχο εκτελεστικό με την ανωτέρω σχέση F.T * *

Σύμφωνα με την ιδιότητα αυτή ισχύει πως:

$$\begin{aligned} h[n] * x[n] &= DFT^{-1} \{ DFT\{h[n]\} DFT\{x[n]\} \} \\ &= IFFT \{ FFT\{h[n]\} FFT\{x[n]\} \} \end{aligned}$$

Αρα μπορώ να υπολογίσω κυκλική συνόλη προελαστικοποιώντας 3 FFT και 1 πολλαπλασιασμό (αριθμητικοί)

Συνεπώς μπορώ να μειώσω την πολυπλοκότητα της συνόλης σε $O(M \log_2 M)$

3.6 Γραμμική Συνόλη

Είναι η κλασική συνόλη. Έστω πως έχουμε ακροαθίες $x[n]$, $h[n]$ μήκους N και L αντίστοιχα. Από τον νόμο της συνόλης έχω:

$$y[n] = x[n] * h[n] = \sum_{l=-\infty}^{+\infty} h[l] x[n-l]$$

αριθμ. $\rightarrow \sum_{l=0}^n h[l] x[n-l]$

Ας δούμε τώρα τους όρους που προκύπτουν για να προσδιορίσουμε το μήκος της:

<p>1^η Μεταβλητή περίοδος Διάρκεια $L-1$</p>	$\begin{cases} y[0] = h[0] x[0] \\ y[1] = h[0] x[1] + h[1] x[0] \\ \vdots \\ y[L-1] = h[0] x[L-1] + h[1] x[L-2] + \dots + h[L-1] x[0] \end{cases}$	<p>1 όρος 2 όροι \vdots L όροι</p>
<p>Μονήρη Κατάσταση Διάρκεια $N-L+1$</p>	$\begin{cases} y[L] = h[0] x[L] + h[1] x[L-1] + \dots + h[L-1] x[1] \\ y[L+1] = h[0] x[L+1] + \dots + h[L-1] x[L] \\ \vdots \\ y[N-1] = h[0] x[N-1] + \dots + h[L-1] x[N-L] \end{cases}$	<p>L " <math>N \leq L</math> L " <math>N > L</math></p>
<p>2^η Μεταβλητή περίοδος Διάρκεια $L-1$</p>	$\begin{cases} y[N] = h[0] x[N] + h[1] x[N-1] + \dots + h[L-1] x[N-L+1] \\ y[N+1] = h[1] x[N] + \dots + h[L-1] x[N-L+2] \\ \vdots \\ y[N+L-1] = h[L-1] x[N-1] \end{cases}$	<p>L-1 " <math>N > L</math> L-2 " <math>N > L</math> \vdots 1</p>

Σύνολο: $N+L-1$

• Γραμμική Συνέλιξη Μέσω Ηομοεικούς

Αν έχω ακολουθίες $x[n]$, $h[n]$ μήκους L και N αντίστοιχα τότε απρα:

- Προσθέσω $N-1$ φορές στο τέλος της $x[n]$
- " " " " " " " " $h[n]$
- Υπολογίσω $x[n] \oplus h[n]$

Η κορυφαία συνέλιξη των προαυξημένων ακολουθιών θα είναι μήκους $N+L-1$ και θα αποτελέσει γραμμική συνέλιξη των μη προαυξημένων ακολουθιών.

• Γραμμική Συνέλιξη κ' Πολυωνομιακών Πολυωνύμων

$$\begin{aligned} \text{Έστω τα πολυώνυμα } A &= a_0 + a_1 x^1 + a_2 x^2 + \dots + a_N x^N \\ B &= b_0 + b_1 x^1 + \dots + b_L x^L \\ \text{και } C &= AB \end{aligned}$$

Αν βάλω τους συντελεστές των A, B στα διανύσματα $a[n]$, $b[n]$, $c[n]$ ακολουθώντας του κανόνα πως έχω n -οστή θέση βάλω τα συντελεστές του $x[n]$ τότε

$$a[n] * b[n] = c[n]$$

Απ: Ένα παράδειγμα π.χ $A = a_0 + a_1 x^1$, $B = b_0 + b_1 x^1 + b_2 x^2$

τότε $c[n] = a[n] * b[n]$ που δίνει

$$c[0] = a_0 b_0$$

$$c[1] = a_0 b_1 + a_1 b_0$$

$$c[2] = a_0 b_2 + a_1 b_1$$

$$c[3] = a_1 b_2$$

$$\text{Οπώς, } AB = C = a_1 b_2 x^3 + (a_0 b_2 + a_1 b_1) x^2 + (a_0 b_1 + a_1 b_0) x + a_0 b_0$$

• Τρήγορες Υλοποιήσεις της Γρ. Συνέλιξης

Επιτάχωση κ' Αθροισμ , Βιβλίο, σελ. 70

Επιτάχωση κ' Διατήρηση , Βιβλίο, σελ. 72

4 ΕΙΣΑΓΟΓΗ ΣΤΑ ΦΙΛΤΡΑ

4.1 Γενικά

Ισχύει πάντα η Βασική Υπόθεση πως Θόρυβος κ' Γληροφορία δεν έχουν κοινές συχνότητες.

Τα φίλτρα χωρίζονται σε ψηφιακά, με τα οποία επεξεργάζομαστε ψηφιακά σήματα και αναλογικά, με τα οποία επεξεργάζομαστε αναλογικά σήματα

- Είναι Γ.Χ. Α. Συστήματα και συνεπώς περιγράφονται πλήρως από την κρασική τους απόκριση $h(t)$ (αναλογικά $h[n]$)
- Σημαντικό ρόλο θα παίξει η απόκριση συχνότητας $H(\omega) = \mathcal{F}\{h(t)\}$ (ως $H(e^{j\omega})$) αφού ο σχεδιασμός των φίλτρων θα γίνεται στο πεδίο της συχνότητας.

Κατηγορίες Φιλτρών

- Αναλογικά: Έχουμε $H(s) = \mathcal{L}\{h(t)\} = \frac{b_0 s^k + b_1 s^{k-1} + \dots + b_k}{s^L + \alpha_1 s^{L-1} + \dots + \alpha_L} = \frac{B(s)}{A(s)}$

Ο βαθμός $\deg(A) = L$ ονομάζεται τάξη του φίλτρου

- Ψηφιακά: Έδω έχω $y[n] = \sum_{l=-\infty}^{+\infty} h[l] x[n-l]$
 $\Leftrightarrow Y(z) = H(z) X(z)$

FIR (Finite Impulse Response)

Έχω πεπερασμένη κρ. απόκριση $h[0], \dots, h[L-1]$. Άρα $y[n] = \sum_{l=0}^{L-1} h[l] x[n-l]$, δηλαδή απαιτούνται πεπερασμένος αριθμός πράξεων για τον υπολογισμό κάθε δείγματος εξόδου. Το μήκος της κρ. απόκρισης L ονομάζεται μήκος φίλτρου

IIR (Infinite Impulse Response)

Παρόλο που έχω η κρ. απόκριση είναι απείρη, αν $H(z) = \frac{b_0 + b_1 z^{-1} + \dots + b_k z^{-k}}{1 + \alpha_1 z^{-1} + \dots + \alpha_L z^{-L}}$ και αντικαταστήσω στην $Y(z) = H(z) X(z)$ και πάρω $Z^{-1}\{\}$ τότε τελικά θα καταλήξω σε $y[n] = -\alpha_L y[n-L] - \dots - \alpha_1 y[n-1] + b_0 x[n] + \dots + b_k x[n-k]$ το οποίο χρειάζεται πεπερασμένο αριθμό πράξεων για τον υπολογισμό.

Ευσταθεια

Για να είναι τα φίλτρα ευσταθή, πρέπει να έχω στα πεν αναλογικά τους πόλους στο αριστερό ημιεπίπεδο ενώ στα δε ψηφιακά όλους τους πόλους εντός του μοναδιαίου κύκλου

4.2 Ιδανικές Προδιαγραφές Φίλτρου

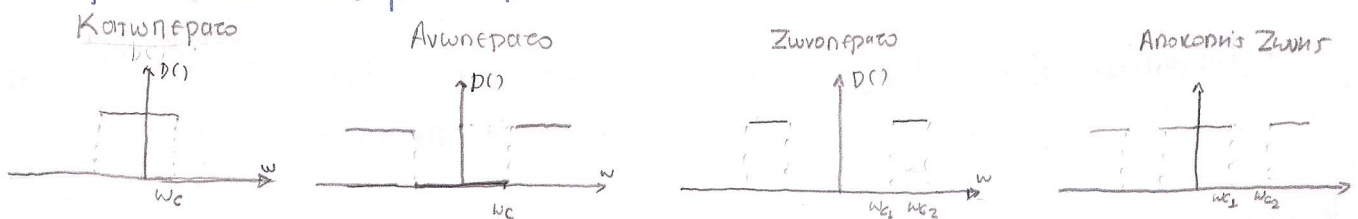
Συμβολίζω με $d[n] \stackrel{F}{\leftrightarrow} D(e^{j\omega})$ την ιδανική κρουστική απόκριση και απόκριση συχνοτήτων του φίλτρου που θέλω να σχεδιάσω.

Κάθε φίλτρο έχει γωνίες διαβάσεως, οι συχνοότητες που θέλω να διατηρήσω (πλάτος 1) γωνίες αποκλιπής, οι συχνοότητες που θέλω να εφοβήσω (0).

Αν λοιπόν οι γωνίες διαβάσεως είναι τριπλές $[-\omega_{L_i}, \omega_{H_i}]$ τότε το ιδανικό φίλτρο θα έχει χαρακτηριστική

$$D(j\omega) = \begin{cases} 1, & \omega_{L_i} \leq \omega \leq \omega_{H_i} \\ 0 & \text{αλλιώς} \end{cases}$$

Μερικά κλασικά φίλτρα παρατίθενται:



• Πραγματική Κρ. Απόκριση

Θα σχεδιάσω συνήθως στο πεδίο της συχνότητας κ.θ. βρίσκω την $D(e^{j\omega})$. Προφανώς αυτή αντιστοιχεί σε κάποιον $d[n] = \frac{1}{2\pi} \int_{-\pi}^{+\pi} D(e^{j\omega}) e^{jn\omega} d\omega$. Επειδή $d[n] \in \mathbb{R}$ ώστε να έχω πραγματικό αποτέλεσμα/εφόδο του φίλτρου. Αυτό εφασφαλίζεται από την ανθεικία:

$$\underline{d[n] \in \mathbb{R} \Leftrightarrow D(e^{-j\omega}) = D^*(e^{j\omega})}$$

$$\underline{d[n] \in \mathbb{R} \Leftrightarrow D(-j\omega) = D^*(e^{j\omega})}$$

Αν: Είναι, $f \in \mathbb{F}^{-1}$ και $\omega \in \mathbb{R}$
Αποδεικνύω πως $|D(\cdot)|$ είναι $< D(\cdot)$ πραγματική

Η ανθεικία αυτή μεταφράζεται στην περίπτωση που $D(\cdot) \in \mathbb{R}$ στο να είναι η $D(\cdot)$ άρτια.

4.3 Προσεγγιση Ιδανικων Προδιαγραφων

Είδαμε πως συνήθως η επιθυμητή χαρακτηριστική του φίλτρου είναι μια $D(\cdot) \in \mathbb{R}$
 όμως το φίλτρο που μπορώ να σχεδιάσω έχει συνήθως μια αποκριση συχνότητας
 $H(\cdot) \in \mathbb{C}$. Μπορώ να γράψω $H(\cdot) = |H(\cdot)| e^{j\phi(\omega)} = R(\cdot) e^{j\phi(\omega)}$

Η $|H(e^{j\omega})| \stackrel{=R(\cdot)}{}$ είναι η αποκριση πλάτους (αρα αν θέλω πραγματικό φίλτρο)
 η $\phi(\omega)$ είναι η συνάρτηση φάσης της αποκρισης συχνότητας (περιπτώ αν θέλω πραγματικό φίλτρο)

Αν $|H(e^{j\omega_0})| \approx 0$ τότε $H(e^{j\omega_0}) \approx 0$.

Αρα θα προσεγγίσω την $D(\cdot)$ με την $|H(\cdot)| \stackrel{=R(\cdot)}{}$ ενώ θα αδιαφορώ για το τι συμβαίνει με την $\phi(\omega)$ (υπάρχουν λόγοι που το επιτρέπουν)

- Γραφτική φάση & καθυστέρηση ομάδας

Αν χρησιμοποιούσα ιδανικό φίλτρο, όπου $\phi(\omega) = 0$, θα είχαμε εφόδο $y^e(e^{j\omega}) = D(e^{j\omega})X(e^{j\omega})$

Όμως στην πραγματικότητα το $\phi(\omega)$ υπάρχει* και παίρνω εφόδο $y(e^{j\omega}) = e^{j\phi(\omega)} y^e(e^{j\omega})$

Μεταφρ επιθυμητής $y^e(\cdot)$ & πραγματικής $y(\cdot)$ εφόδου έχω: *Αρα το φίλτρο που μπορώ να σχεδιάσω είναι της μορφής $e^{j\phi(\omega)} D(e^{j\omega})$

- $|y(\cdot)| = |y^e(\cdot)|$ άρα έχω τις ίδιες συχνότητες με ίδια ενέργεια
- $\angle y(\cdot) = \angle y^e(\cdot) + \phi(\omega)$ άρα υπάρχει διαφορά φάσης

Παίρνοντας F^{-1} των y, y^e καταλήγω στις σχέσεις:

$$y^e[n] = \frac{1}{2\pi} \int_{-\pi}^{+\pi} |y^e(e^{j\omega})| e^{j(n\omega + \angle y^e(e^{j\omega}))} d\omega$$

$$y[n] = \frac{1}{2\pi} \int_{-\pi}^{+\pi} |y^e(e^{j\omega})| e^{j((n + \frac{\phi(\omega)}{\omega})\omega + \angle y^e(e^{j\omega}))} d\omega$$

Παρατηρώ τώρα πως αν έχω γραφτική φάση $\phi(\omega) = -K\omega \Leftrightarrow \frac{\phi(\omega)}{\omega} = -K$

τότε $y[n] = y^e[n-K]$, δηλαδή επιθυμητή και πραγματική εφόδος είναι περρω μιας χρ. σχέσεως ίδιες \rightarrow καθο!

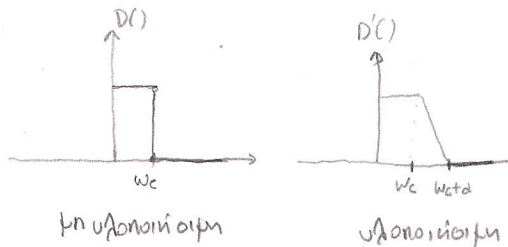
Η γραφτική φάση είναι ένα ιδιαίτερα επιθυμητό χαρακτηριστικό στις δυνες διατάξεις ενός φίλτρου (οι δυνες αποκρίσεις δεν με νοιάζουν γιατί χάνονται) ώστε να έχω αναλλοίωτη μορφή της εφόδου σε σχέση με την επιθυμητή

Η παράγωγος $-\frac{d\phi(\omega)}{d\omega} = \tau(\omega)$ καλείται καθυστέρηση ομάδας, και είναι χρήσιμο να την φέρουμε σε περιπτώσεις που δεν έχουμε γραφτική φάση

◦ Ζώνες Μετάβασης

Είδαμε πως η ιδανική $D(\omega)$ παρουσιάζει αδυναμίες όταν μεταβαίνει από το $0 \rightarrow 1$ και αντίθετα (λοφισήματα). Το φίλτρο οφείλει να απορροφάει δεν μπορεί να εφάρμοζε αδυναμίες γτ θα είχαμε απείρη ενέργεια, απείρο χρόνο...

Για να αποφεύξουμε το φαινόμενο αυτό εισάγουμε τις ζώνες μετάβασης



Βλέπω πως μικραίνω λίγο την ζώνη αποκοπής και εισάγω ζώνη μετάβασης $[\omega_c, \omega_c + \alpha]$. Ο σχεδιασμός καθορίζει το α αλλά όχι την συμπεριφορά του φίλτρου στην ζώνη μετάβασης.

Επιθυμώ λειτουργία στην ζώνη μετάβασης και όχι εφέκωρατα (T_{up} ή T_{down} μη αποδεκτά)

◦ Ακρίβεια Προσεγγίσης

Προσεγγίζουμε λοιπόν την $D(\omega)$ με το $R(\omega) = |H(\omega)|$. Στις ζώνες ενδιαφέροντος, δαδ στις ζώνες διάβασης κ αποκοπής ορίζουμε ένα μέγιστο αποδεκτό εφέκωρα δ_i , ε.ω.

$$\underline{|D(e^{j\omega}) - R(e^{j\omega})| \leq \delta_i, \text{ για } \omega_{\text{p}_i} \leq \omega \leq \omega_{\text{s}_i}}$$

Μπορώ να μετασχηματίσω διαφορετική ανοχή για εφέκωρα για διαφορετικές συχνότητες χρησιμοποιώντας μια συνάρτηση βάρους $W(\omega) \geq 1$, ε.ω.

$$W(\omega) |D(e^{j\omega}) - R(e^{j\omega})| \leq \delta_i, \text{ για } \omega \in \mathcal{T} = \text{ζώνες ενδιαφέροντος}$$

4.4 Μεταβατικά Φαινόμενα

Τα φίλτρα είναι ΓΧΑΣ με ομογενική απόκριση $H(e^{j\omega})$. Αν τα εφοδοποιώ με κλιμακωτή είσοδο $e^{jn\omega_0}$, τότε παίρνω έξοδο $H(e^{j\omega_0})e^{jn\omega_0}$. Το τελευταίο ισχύει αν η είσοδος καλύπτει όλους τους όρους της κρ. απόκρισης.

Αφού υπέθεσα επίσης αιτιατότητα, η είσοδος είναι γραμμικός συνδυασμός των εισόδων κάποιων προηγούμενων χρονικών στιγμών. Το φίλτρο οφείλει εφοδοστεί με είσοδος από την $t=0$ και μετά. Ως αποτέλεσμα, για ένα χρονικό διάστημα μέχρι να καλυφθούν οι όροι της κρ. απόκρισης έχω μεταβατικά φαινόμενα, δηλ το φίλτρο υπεπιφέρεται "περίεργα".

Μεταβατικά Φαινόμενα σε FIR Φίλτρα

Έστω κρ. απόκριση μήκους L . Άρα έχω $y[n] = \sum_{\ell=0}^{L-1} h[\ell]x[n-\ell]$. Για να προσδιορίσω το άθροισμα πρέπει να φέρω τις τιμές του $x[n]$ τις προηγούμενες L χρονικές στιγμές.

Άρα όταν υπολογίσω το $y[0]$ υπερέχονται στον υπολογισμό οι $x[0]$ και $x[-1], \dots, x[-L+1]$ αδύνατες, συνήθως 0

Συνεπώς θα παρατηρώ μεταβατικά φαινόμενα τις πρώτες $L-1$ χρ. στιγμές.

Η διαρκής ροή των μεταβατικών φαινομένων σε FIR φίλτρα είναι (εξαιτίας) ίση με το μήκος τους

Μεταβατικά Φαινόμενα σε IIR Φίλτρα

Έδω έχω άπειρη κρ. απόκριση, άρα $y[n] = \sum_{\ell=0}^{+\infty} h[\ell]x[n-\ell]$. Συνεπώς η είσοδος κάθε χρονικής στιγμής, εξαρτάται από το παρελθόν που δεν φέρω.

Από την γραμμική άλγεβρα και θεωρία ευσταθειών φέρω πως:

$$|h[n+1]x[-1] + h[n+2]x[-2] + \dots| \leq A M \frac{1}{1-\rho} \rho^{n+1}$$

όπου $A > 0$ σταθερά
 M ανώφραγμα του $x[n]$

όπου $\rho \geq \max\{|z_1|, \dots, |z_r|\}$, z_i πόλος της $H(z)$ του φίλτρου

Αφού οφείλει το φίλτρο είναι ευσταθές και αιτιατό ισχύει $|z_i| < 1$. Συνεπώς

έχω $\rho < 1$ και η επίδραση των αγνώστων εισόδων τείνει στο 0 με εκθετικό ρυθμό

Μάλιστα, όσο πιο κοντά στο 0 είναι οι πόλοι, τόσο λιγότερη διακρίσιμη μετ. φαινόμενα

· Βλ. 5.9 Βιβλίο, σελ. 102 Τα μετ. φαινόμενα δεν εμφανίζονται μόνο στην αρχή της επεξεργασίας.

5 FIR ΦΙΛΤΡΑ

5.1 Συχνотική Αποκρίση

Εστω FIR φίλτρο περιττής τάξης $L=2N+1$, δηλαδή $h[n]$, $n=0, \dots, 2N$

Η συχνотική αποκρίση του φίλτρου είναι $H(e^{j\omega}) = \sum_{n=0}^{2N} h[n] e^{-j\omega n}$. Αναλύοντας εκω:

$$\begin{aligned}
 H(e^{j\omega}) &= h[0]e^{j0} + \dots + h[N-1]e^{-j\omega(N-1)} + \underbrace{h[N]e^{-j\omega N}}_{\text{κεντρικός όρος}} + h[N+1]e^{-j\omega(N+1)} + \dots + h[2N]e^{-j\omega 2N} \\
 &= e^{-jN\omega} \left[h[0]e^{jN\omega} + \dots + h[N-1]e^{j\omega} + h[N] + h[N+1]e^{-j\omega} + \dots + h[2N]e^{-jN\omega} \right] \quad (1)
 \end{aligned}$$

Γενικά προτιμώ να γράφω $a \cos(\alpha) + b \sin(\alpha) = \frac{a+b}{2} \cos(\alpha) + \frac{a-b}{2} \sin(\alpha)$ (2)

Σταθόντας πρώτα τα $e^{j\omega n} = \cos(\omega n) + j \sin(\omega n)$ και εκφεραζόμενος πως $\cos(-\alpha) = \cos(\alpha)$ $\sin(-\alpha) = -\sin(\alpha)$ η (1) γίνεται:

$$H(e^{j\omega}) = e^{-jN\omega} \left[(h[0]+h[2N]) \cos N\omega + j(h[0]-h[2N]) \sin N\omega + (h[1]+h[2N-1]) \cos(N-1)\omega + \dots \right]$$

Επιλέγοντας άρα $a[n] = h[n] + h[2N-n]$ $b[n] = h[n] - h[2N-n]$ η τελευταία έκθεση γίνεται:

$$H(e^{j\omega}) = e^{-jN\omega} \left[\underbrace{\sum_{n=0}^N a[n] \cos(n\omega)}_{\substack{\text{πραγματικό} \\ \text{μέρος} \\ R_R(\cdot)}} + j \underbrace{\sum_{n=0}^N b[n] \sin(n\omega)}_{\substack{\text{φανταστικό} \\ \text{μέρος} \\ R_{Im}(\cdot)}} \right]$$

* Αν είχαμε αναλύσει για $L=2N$

Με την παραπάνω άρα $H(\cdot)$ προσπαθούμε να προβεγγίσουμε την ιδανική αποκρίση συχνотικών $D(\cdot)$. Παρατηρούμε, ότι έχουμε και με την αναλυση του 4ου κεφαλαίου πως:

- Τα FIR φίλτρα τάξης L έχουν γραμμική φάση $\phi(\omega) = -N\omega = -(\frac{L-1}{2})\omega$, που αντιστοιχεί σε καθυστέρηση κατά $\frac{L-1}{2}$ δείγματα
- Αν $D(\cdot) \in \mathbb{R} \Rightarrow D_{Im}(\cdot) = 0 \Rightarrow R_{Im}(\cdot) = 0 \Rightarrow b[n] = 0$
- Αν $D(\cdot) \in \mathbb{Im} \Rightarrow R_R(\cdot) = 0 \Rightarrow R_{Im}(\cdot) = 0 \Rightarrow a[n] = 0$

Για να ελεγχουμε αν $a[n], b[n]$ \rightarrow Γενικά θέλω $d(\cdot) \in \mathbb{R}$ άρα πρέπει $D(e^{-j\omega}) = D^*(e^{j\omega})$ $\rightarrow R_R(\cdot)$ άρα $\rightarrow a[n]$ άρα $\rightarrow D_{Im}(\cdot)$ περιττή $\rightarrow b[n]$ περιττή

$$\begin{aligned}
 \text{άρα } D(-\omega) &= D_R(-\omega) + j D_{Im}(-\omega) \\
 D^*(\omega) &= D_R(\omega) - j D_{Im}(\omega)
 \end{aligned}
 \Rightarrow \begin{cases} D_R(-\omega) = D_R(\omega) \rightarrow \text{άρα} \\ D_{Im}(-\omega) = -D_{Im}(\omega) \rightarrow \text{περιττή} \end{cases}$$

5.2 Ελαχιστοποίηση Σφάλματος

Σχεδιάζοντας ένα φίλτρο έχω ως σκοπό την προσέγγιση της ιδανικής συχνότητας αποκρίσις $D(\cdot) = P_R(\cdot) + j D_{Im}(\cdot)$ μέσω της πραγματικής συχνότητας αποκρίσις του φίλτρου που $H(\cdot) = \underbrace{e^{j\phi(\omega)}}_{\text{δεν το λαμβάνω υπόψη}} R(\cdot) = R_R(\cdot) + j R_{Im}(\cdot)$

Το σφάλμα της προσέγγισης για κάθε συχνότητα ξεχωριστά δίνεται από την σχέση
$$E(\cdot) = D(\cdot) - R(\cdot) = [D_R(\cdot) - R_R(\cdot)] + [D_{Im}(\cdot) - R_{Im}(\cdot)]$$

Η παραπάνω σχέση μας δίνει το σφάλμα σε κάθε συχνότητα ξεχωριστά. Για να βρω το συνολικό σφάλμα θα χρησιμοποιήσω νόρμες.

Ο γενικός τύπος της p -norm είναι $\left[\int_{-\infty}^{\infty} (x(t))^p dt \right]^{1/p}$ ενώ στην περίπτωση του ψηφιακού φίλτρου γίνεται $\left[\int_{-\pi}^{\pi} |e(\omega)|^p d\omega \right]^{1/p}$.

Για την απλοποίηση σφάλματος σε FIR φίλτρα έχω $E = E(\alpha_0, \dots, \alpha_n, b_0, \dots, b_n)$. Είναι δηλαδή ανεξάρτητη των συντελεστών του φίλτρου. Παρατηρώ τις εξής περιπτώσεις:

- Αν $D(\cdot) \in \mathbb{R} \rightarrow R \in \mathbb{R} \rightarrow b_n = 0 \rightarrow E = E(\alpha_0, \dots, \alpha_n)$
- Αν $D(\cdot) \in \text{Im} \rightarrow R \in \text{Im} \rightarrow \alpha_n = 0 \rightarrow E = E(b_0, \dots, b_n)$

• Μέσο Τετραγωνικό Σφάλμα ($p=2$)

Προκειται για την 2-νορμα (ευκλείδεια απόσταση).

$$\text{Εδώ έχω } E^2(\cdot) = \int_{-\pi}^{\pi} |D(\omega) - R(\omega)|^2 d\omega = \int_{-\pi}^{\pi} (R_R(\omega) - R_R(\omega))^2 d\omega + \int_{-\pi}^{\pi} (D_{Im}(\omega) - R_{Im}(\omega))^2 d\omega$$

$$\text{Συνεπώς } \min_{d_i, b_i} E^2 = \min_{d_i} E_R^2 + \min_{b_i} E_{Im}^2 \quad \left. \begin{array}{l} \text{για } x, y \in \mathbb{R} \text{ ισχύει} \\ \sqrt{x^2 + y^2} \leq |x| + |y| \end{array} \right\}$$

Σημάδα λοιπόν το πρόβλημα σε 2 ψευδώς ανεξάρτητα προβλήματα.

• Μέγιστο Σφάλμα ($p=\infty$)

Η ∞ -νορμα μας δίνει την μέγιστη τιμή της ανεξάρτητης. Άρα εδώ έχω ένα

$$\text{L.P. πρόβλημα } \min_{h_i} \left[\max_{\omega \in T} E(\omega) \right] = \min_{h_i} E^{\infty}(\cdot) \leq \min_{d_i} E_R^{\infty}(\cdot) + \min_{b_i} E_{Im}^{\infty}(\cdot)$$

Εδώ, αντίθετα με την 2-norm υπάρχει ανισότητα, άρα η ελαχιστοποίηση των νόρμων E_R^{∞} , E_{Im}^{∞} δεν σφραγίζει την ελαχιστοποίηση του $E^{\infty}(\cdot)$. Βέβαια, στην περίπτωση που $D \in \mathbb{R}$ ή $D \in \text{Im}$ αρκεί η ελαχιστοποίηση του E_R^{∞} ή E_{Im}^{∞} αντίστοιχα.

5.3 Σχεδίαση με χρήση Παραθύρου

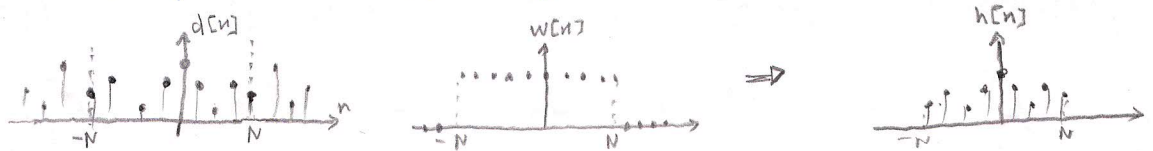
Για να προσδιορίσω τους βέλτιστους συντελεστές, μπορώ να παραχωρήσω την σχέση του σφάλματος σχεδίασης ως προς καθέναν, να την εφωδίσω με 0 και να δείξω πως η λύση αποτελεί τοπικό ελάχιστο της συνάρτησης απόστασης. Οι λύσεις που θα προκύψουν είναι οι όροι της σειράς Fourier του $D(\cdot)$. Έτσι έχω:

$$d[n] = \frac{1}{2\pi} \int_{-\pi}^{\pi} D(e^{j\omega}) e^{j\omega n} d\omega \quad \left(\begin{array}{l} \text{σχέση} \\ \text{συντελεστών: } D(e^{j\omega}) = \sum_{n=-\infty}^{+\infty} d[n] e^{-j\omega n} \end{array} \right)$$

Αν η $D(\cdot)$ είναι σφαιρική, πράγμα που φαίνεται κατά κόρον (π.χ. αωσπέρατα/κατωπέρατα) τότε και οι συντελεστές $d[n]$ είναι σφαιρικοί, δηλαδή $d[-n] = d[n]$.

Η σειρά Fourier θα μας δώσει λοιπόν απείρους συντελεστές. Εφείς όσον έχουμε FIR φίλτρο, αρκεί να κρατήσουμε μόνο περικόσους αυτούς. Έδώ έστω $L = 2N+1$

Για να κρατήσω τους όρους αυτούς πολλαπλασιάζω την $d[n]$ με ένα παράθυρο $w[n]$



Έδώ επέλεξα τριγωνικό παράθυρο $w[n] = \begin{cases} 1, & n=0, \pm 1, \dots, \pm N \\ 0 & \text{άλλω} \end{cases}$

Αυτό όμως έχει σαν συνέπεια την εμφάνιση του φαινομένου Gibbs

Αρα μπορώ να επιλέξω διαφορετικά παράθυρα, π.χ. τριγωνικό $w[n] = \begin{cases} 1 - \frac{|n|}{N+1}, & n=0, \pm 1, \dots, \pm N \\ 0 & \text{άλλω} \end{cases}$.

Τέλος, για να έχω ακεραιότητα, αρκεί να διορθώσω τα $h[n]$ κατά $N-1$ θέσεις δεξιά.

❗ Η χρήση ΣΦ ε' αποκότη όρων προσεγγίζει βέλτεια την $D(\cdot)$ ως προς \mathcal{E}^2

5.4 Σχεδίαση με χρήση Ζωνών Αδιαφορίας

Θα ονομάζω ζώνες ενδιαφέροντος $T = \{\text{ζώνες διαόδου}\} \cup \{\text{ζώνες αποκότη}\}$. Θα ονομάζω ζώνες αδιαφορίας τις ζώνες βραδύτητας. Σκεπάζω την μέθοδο αδιαφορίας για το σφάλμα στις ζώνες αδιαφορίας. Δεν μπορώ πλέον να χρησιμοποιήσω Σ.Φ για να προσεγγίσω βέλτεια ως προς \mathcal{E}^2 .

$$\text{Έδώ έχω} \quad \mathcal{E}^2(\cdot) = \int_T |D(\omega) - R(\omega)|^2 d\omega = \int_T [D_R(\omega) - R_R(\omega)]^2 d\omega + \int_T [D_{Im}(\omega) - R_{Im}(\omega)]^2 d\omega$$

Αρα εδώ πρέπει να λύσω το πρόβλημα ελαχιστοποίησης που σφαιρίζει:

- Παίρνω παραγωγούς της $\mathcal{E}^2(\cdot)$ ως προς κάθε συντελεστή του φίλτρου και τις εφωδίσω με 0.
- Λύνω το σύστημα N εφωδίσων με N αγνώστους που προσέχω.

5.5 Ελαχιστοποίηση E^2 με Μιγρώα

$$\begin{aligned} \text{Είδαμε πως } R(\omega) &= h_0 e^{jN\omega} + h_1 e^{j(N-1)\omega} + \dots + h_N e^{j\omega} + \dots + h_{2N+1} e^{-j(N-1)\omega} + h_{2N} e^{-jN\omega} \\ &= [e^{jN\omega} \ e^{j(N-1)\omega} \ \dots \ 1 \ \dots \ e^{-j(N-1)\omega} \ e^{-jN\omega}] \begin{bmatrix} h_0 \\ h_1 \\ \vdots \\ h_{2N} \end{bmatrix} \end{aligned}$$

$$R(\omega) = \phi_{2N+1}^T(\omega) h = h^T \phi_{2N+1}(\omega)$$

Μπορώ να γράψω τώρα:

$$\begin{aligned} [D(\omega) - R(\omega)]^2 &= (D(\omega) - R(\omega))(D^*(\omega) - R^*(\omega)) = |D|^2 + RR^* - RD^* - (RD^*)^* \\ &= |D|^2 + h^T \phi^* \phi^T h - D^*(\omega) \phi^T h - (D^* \phi^T h)^* \end{aligned}$$

Ολοκληρώνω τώρα και έχω

$$\int [D(\omega) - R(\omega)]^2 d\omega = \int |D|^2 d\omega + h^T \int \phi^* \phi^T d\omega h - \int D^*(\omega) \phi^T d\omega h - \int D^*(\omega) \phi^T d\omega h$$

$$E^2 = \int |D|^2 d\omega + h^T A(\omega) h - \alpha^T h - \alpha^{*T} h^*$$

Σταματά με τους όρους της σειράς Fourier
από υποσφύζω $\langle D(\omega), e^{jN\omega} \rangle$, $n = -N, \dots, N$

Παραγωγίζοντας τώρα τον παραπάνω ως προς κάθε h_i^* και εξισώνοντας με 0, έχω:

$$0 + v_i - 0 - \alpha_i^{*T} = 0$$

$$\Rightarrow \alpha_i^* = v_i, \quad i = 1, \dots, 2N+1$$

$$\Rightarrow \alpha^* = Ah \quad \Leftrightarrow \begin{bmatrix} v_1 \\ v_2 \\ \vdots \\ v_{2N+1} \end{bmatrix} = \begin{bmatrix} \alpha_1^* \\ \alpha_2^* \\ \vdots \\ \alpha_{2N+1}^* \end{bmatrix}$$

~~από αυτό είναι οι συντελεστές του φίλτρου~~

$$\Rightarrow h = A^{-1} \alpha^*, \quad \text{όπου } h_i \text{ είναι οι συντελεστές του φίλτρου}$$

5.6 Min-Max Προσέγγιση

Εδώ προσπαθώ να ελαχιστοποιήσω το E^∞ , δηλαδή $\min_{h_i} \max_{\omega} E(\omega)$

Το πρόβλημα δεν είναι δυνατό να διασπαστεί σε επιμέρους υποπροβλήματα και είναι NP-complete. Ευτυχώς υπάρχουν συνθήκες που επιτρέπουν την λύση του αν $D \in \mathbb{R}$.

Το Θεώρημα Αναλλαγής → Βιβλίο, σελ. 131

Προσπαθώ λοιπόν να προσέγγισω την $D(\omega)$ με φίλτρο FIR τάξης $2N+1$, δηλαδή με τις συναρτήσεις $\sum_{n=0}^{2N} \alpha_n \phi_n(\omega) = \alpha^T \Phi_{2N+1}(\omega)$.

Στόχος μας είναι να επιλέξουμε διάνυσμα συντελεστών φίλτρου $\alpha = \begin{bmatrix} \alpha_0 \\ \vdots \\ \alpha_{2N+1} \end{bmatrix}$ τέτοιο ώστε $\min_{\alpha} \max_{\omega} |D(\omega) - \alpha^T \Phi_{2N+1}(\omega)|$.

Οι συναρτήσεις $\phi_n(\omega)$ που επιλέγουμε πρέπει να είναι ως τορβίς $\phi_n(\omega) = \cos(n\omega)$ ή $\phi_n(\omega) = \sin(n\omega)$, καθώς εφασφαλίζουν αντισυμμετρία και είναι Haar functions

Προφανώς αν η $D(\omega)$ είναι άρτια θα διαλέξω $\phi_n(\omega) = \cos(n\omega)$
ενώ αν η $D(\omega)$ είναι περιττή θα διαλέξω $\phi_n(\omega) = \sin(n\omega)$

Το Θεώρημα αναλλαγής μας λέει πως οι $\alpha_1, \dots, \alpha_{2N+1}$ προσέγγισουν βέλτιστα την $D(\omega)$ κατά την $\min \max$ συνολικά αν υπάρχουν $2N+2$ σημεία εναλλαξοδότησης προσήμου, στα οποία η τιμή του σφάλματος εμφανίζει το πικρό ακρότατο, και κατά απόλυτη τιμή ολικό ακρότατο, έτσι δ .

Αν αυξήσουμε τα $2N+2$ συχνοτικά σημεία ή και γινώσκω, τότε αρκεί να έχουμε εφ

$$\begin{bmatrix} \phi_1(\omega_1) & \dots & \phi_{2N+1}(\omega_1) & 1 \\ \phi_1(\omega_2) & \dots & \phi_{2N+1}(\omega_2) & -1 \\ \vdots & & & \\ \phi_1(\omega_{2N+2}) & \dots & \phi_{2N+1}(\omega_{2N+2}) & (-1)^{2N+1} \end{bmatrix} \begin{bmatrix} \alpha_1 \\ \alpha_2 \\ \vdots \\ \alpha_{2N+1} \\ \delta \end{bmatrix} = \begin{bmatrix} D(\omega_1) \\ D(\omega_2) \\ \vdots \\ D(\omega_{2N+2}) \end{bmatrix}$$

Η δυσκολία έγκειται στο να υπολογίσουμε τα $2N+2$ συχνοτικά σημεία.

32

6. IIR ΦΙΛΤΡΑ

6.1 Εισαγωγή

Εδώ έχω τις ίδιες προδιαγραφές με το προηγούμενο κεφάλαιο.
Θα σχεδιάσω κατωπεράτα φίλτρα τα οποία θα προσεγγιστούν σε άλλα είδη.

Η συν. απόκριση των φίλτρων που είναι:

$$H(j\omega) = \frac{B(j\omega)}{A(j\omega)} = \frac{\sum_{m=0}^M b_m (j\omega)^m}{\sum_{n=0}^N a_n (j\omega)^n}, \quad N > M$$

Αφού θέλω φίλτρο με πραγματικούς συντελεστές, πρέπει $H^*(j\omega) = H(-j\omega)$.

Μπορώ τώρα να γράψω: $H(j\omega)H^*(j\omega) = H(j\omega)H(-j\omega) = |H(j\omega)|^2 = \frac{\sum_{m=0}^M a_m \omega^{2m}}{\sum_{n=0}^N d_n \omega^{2n}}$

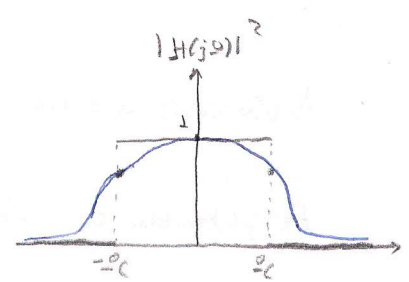
6.2 Butterworth Φίλτρα

Χαρακτηρίζονται από απόκριση πλάτους $|H(j\omega)|^2 = \frac{1}{1 + (\frac{\omega}{\omega_c})^{2N}}$

N: τάξη φίλτρου
ω_c: συχνότητα αποκοπής

Η συχνότητα ω_c καλείται συχνότητα αποκοπής των 3dB, δηλ το πλάτος της πάλ/γεται με 0.7 και έχει την φάση 0.7.
Αφού για ω = ω_c, ορίζεται από το N, ισχύει $|H(j\omega_c)| = \frac{1}{\sqrt{2}} \approx 0.7$

Για $\omega \gg \omega_c, \frac{\omega}{\omega_c} \gg 1 \rightarrow (\frac{\omega}{\omega_c})^{2N} \gg 1 \rightarrow |H(j\omega)| \approx 0$
 Για $\omega \ll \omega_c, \frac{\omega}{\omega_c} \ll 1 \rightarrow (\frac{\omega}{\omega_c})^{2N} \approx 0 \rightarrow |H(j\omega)| \approx 1$



Πόλοι Συναρτησιών Μεταφοράς

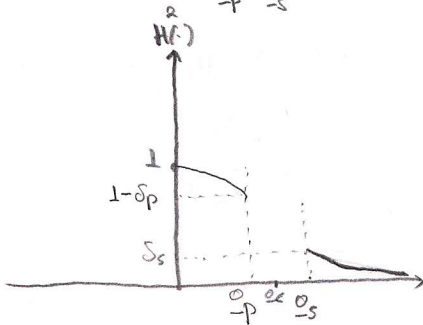
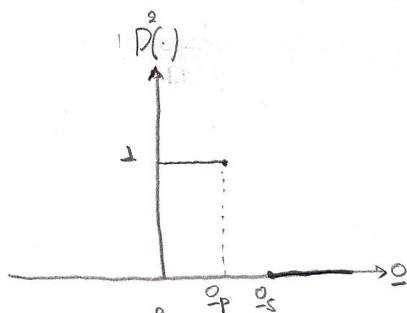
Χρησιμοποιώντας την $|H(s)|^2 = \frac{1}{1 + (\frac{s}{j\omega_c})^{2N}}$, παρατηρώ πως η σωρευτική μεταφορά του φίλτρου έχει πόλους για $1 + (\frac{s}{j\omega_c})^{2N} = 0 \Rightarrow s_n = j\omega_c e^{j\frac{n\pi}{2N}}$
 $\Leftrightarrow s_n = \omega_c e^{j\pi(\frac{1}{2} + \frac{2n+1}{2N})}, n=0, \dots, 2N-1$

Βλέπω πως s_n και s_n^* είναι εντός πύλης
 Άρα η $|H(s)|^2 = H(s)H(-s)$, το οποίο μας εξασφαλίζει πραγματικούς συντελεστές και συστάδες. (Αναλυση, σελ. 158 Βιβλίο)

ο Σχεδίαση Βαση Προδιαγραφών

Οι προδιαγραφές που φου δίνονται είναι η συχνότητα ακρο της ζωνής περσεβασ ω_p , ανώτακη της ζωνής αποκοτης ω_s και τα μεγέθη επιτρεπτά σφάλματα δ_p, δ_s .

Αντα που ανώτακω πρέπει να υπολογισω είναι η τάξη φίλτρου N και η ω_c .



Έχω λοιπόν ζωνή διαβάσεως $[0, \omega_p]$, ζωνή περσεβασ $[\omega_p, \omega_s]$ και ζωνή αποκοτης $[\omega_s, \infty)$.

Παρατηρω πως η $|H(j\omega)|^2 = \frac{1}{1 + (\frac{\omega}{\omega_c})^2}$ είναι γυκλώτ φθίνωσα στο $[0, \infty)$ με $|H(j0)|^2 = 1$ και $|H(j\infty)|^2 = 0$

Άρτω λοιπόν να μελετώ το σφάλμα σε σιβετία ω_p, ω_s .

Οι περσεβωφοί που προκύπτουν λοιπόν είναι:

$$|H(j\omega_p)|^2 \geq (1 - \delta_p)^2 \quad (1)$$

$$|H(j\omega_s)|^2 \leq \delta_s^2 \quad (2)$$

$$\text{Από την (1): } \frac{1}{1 + (\frac{\omega_p}{\omega_c})^{2N}} \geq (1 - \delta_p)^2 \Leftrightarrow (\frac{\omega_p}{\omega_c})^{2N} \leq \frac{1}{(1 - \delta_p)^2} - 1 \Leftrightarrow 2N \log(\frac{\omega_p}{\omega_c}) \leq \log(\Delta_p)$$

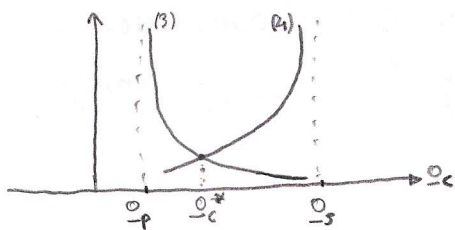
$$\Leftrightarrow N \geq \frac{\log(\Delta_p)}{2 \log(\frac{\omega_p}{\omega_c})} \quad (3)$$

αφου $\omega_p < \omega_c \Rightarrow \log(\frac{\omega_p}{\omega_c}) < 0$

Είναι εύλογο να υποθέσω πως $\omega_p < \omega_c < \omega_s$ αφού $|H(j\omega_c)|^2 = \frac{1}{2}$

$$\text{Αντίστοιχα ανώτακω για την (2) υπολογισω πως } N \geq \frac{\log(\Delta_s)}{2 \log(\frac{\omega_s}{\omega_c})} \quad (4)$$

Αν μελετώ τα δεξιά μέλη των (3), (4) σε σχέση με το ω_c έχω:



Το ω_c^* λοιπόν είναι το ω_c που φαίνεται, για το οποίο ικανοποιούνται οι (3), (4)

Γιανα το βρω σφαινω τα δεξιά μέλη των (3), (4).

Έπειτα προσδιορίζω το N με αυτήν ανώτακωτιση.

6.3 Φίλτρα Chebyshev

• Πολυώνυμα Chebyshev 1ου τύπου

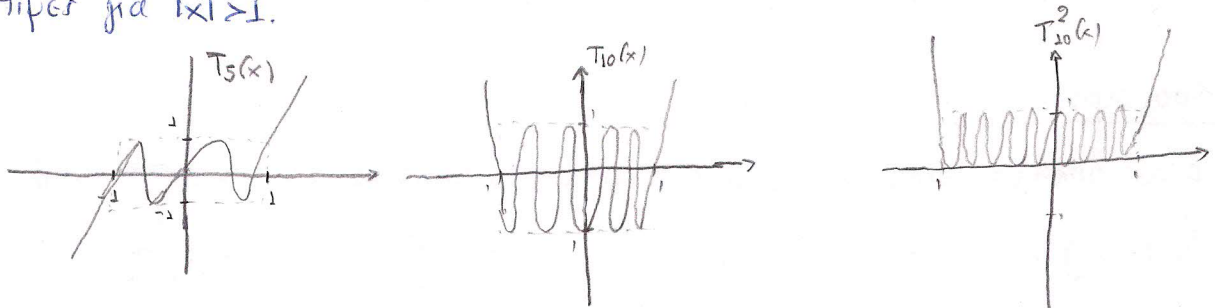
Το πολυώνυμο Chebyshev 1ου τύπου τάξης k ορίζεται από τον τύπο:

$$T_k(x) = \begin{cases} \cos(k \cos^{-1}(x)) & , |x| \leq 1 \\ \cosh(k \cosh^{-1}(x)) & , |x| > 1 \end{cases} \quad \text{ή από αναδρομικά} \quad T_k(x) = \begin{cases} 1 & , k=0 \\ x & , k=1 \\ 2xT_{k-1}(x) - T_{k-2}(x) & , k \geq 2 \end{cases}$$

Η χαρακτηριστική ιδιότητα των πολυωνύμων Chebyshev είναι πως για $x \in [-1, 1]$, το $T_k(x) \in [-1, 1]$ και πιο συγκεκριμένα κάνει ομοιόμορφο μετατόπι των 2 ακραίων του

για $|x| > 1$, το πολυώνυμο εμφανίζει μονοτονία υπερπεριφορά, είναι δηλαδή αυξανόμενο k περιπτώσεις και φθίνοντα k αρνητικά, ενώ το $T_k(x)$ παίρνει μεγάλες τιμές γρήγορα.

Από τα προηγούμενα συμπεραίνουμε εύκολα πως το $T_k^2(x)$ κάνει ομοιόμορφο μετατόπι 0 και 1 για $x \in [-1, 1]$ και γίνεται πιο γρήγορα σε μεγάλες τιμές για $|x| > 1$.

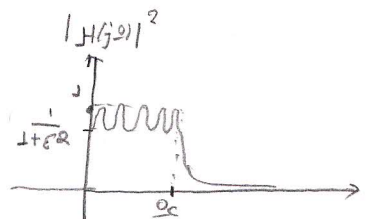


• Φίλτρα Chebyshev 1ου τύπου

Η ανακριση ολικώς εδώ είναι $|H(j\omega)|^2 = \frac{1}{1 + \epsilon^2 T_N^2(\frac{\omega}{\omega_c})}$

Για $\omega \in [0, \omega_c]$, $T_N^2 \in [0, 1]$ άρα $|H(j\omega)|^2 \in [\frac{1}{1+\epsilon^2}, 1]$

Για $\omega > \omega_c$, T_N^2 παίρνει πολύ μεγάλες τιμές, άρα $|H(j\omega)|^2 \rightarrow 0$ γρήγορα.



Πα να προσδιορίσω τα N, ω_c, ϵ θα δώσω ως εξής

• Παρατηρώ πως για $\omega = \omega_c$, $|H(j\omega)|^2 = \frac{1}{1+\epsilon^2}$, παίρνει δηλαδή του μικρότερη τιμή της (που τω έστω δ_p) στο υποδιακριτικό της περιοχής. Άρα λογικά, η $[0, \omega_c]$ είναι περιοχή διαβάσεως, άρα επιλέγω $\omega_c = \omega_p$.

• Πρακτικά πρέπει στο $[0, \omega_p]$, $|H(j\omega)|^2 \geq (1-\delta_p)^2 \iff \epsilon = \frac{1}{\sqrt{(1-\delta_p)^2 - 1}}$

• Τώρα πρέπει να προσδιορίσω τα N . Είδα πως για $\omega > \omega_c$, η $|H(j\omega)|^2$ είναι γρήγορα φθίνουσα. Άρα αρκεί να ισχύει ο περιορισμός του δ_s για $\omega = \omega_s$.

Συνεπώς θέλω ως προς N του $|H(j\omega)|^2 \leq \delta_s^2$

6.4 Μετασχηματισμοί Συχνότητας

Σας προποφάνει εννοείται σχεδίαση κατωπεράτα Butterworth κ' Chebyshev φίλτρα.
Από αυτά μπορείτε μετασχηματισμούς συχνότητας να πάρωαφάρα ανωπεράτα, ζωνοπεράτα
ή αποκονής ζωons φίλτρα. Θα δοοφει πωos.

Κατωπεράτο σε Κατωπεράτο

Αν έχω κατωοικονοημένο Butterworth, δηλαδή $\omega_c = 1$ και θέλω να φτιάξω
φίλτρο με συχνότητα αποκονής ω_c , τότε θέλω $\underline{\omega} \rightarrow \frac{\omega}{\omega_c}$ (αλλι. $s \rightarrow \frac{s}{\omega_c}$)

* ίδια οι $\delta\omega'$, $\delta\omega''$

Κατωπεράτο σε Ανωπεράτο

Εδώ αρκεί να αντιστοιχίσω $(s \rightarrow \frac{1}{s})$ $\underline{\omega} \rightarrow -\frac{1}{\omega}$

ίδια $\delta\omega'$, $\delta\omega''$

και $\omega_c' = \frac{1}{\omega_c}$

Κατωπεράτο σε Ζωνοπεράτο

Αν θέλω από κατωπεράτο να φτιάξω ζωνοπεράτο με ζωνο διάβαοος $[\omega_u, \omega_e]$

αρκεί να αντιστοιχίσω $\underline{\omega} \rightarrow \frac{\omega^2 - \omega_u \omega_e}{\omega}$ ($s \rightarrow s + \frac{\omega_u \omega_e}{\omega}$)

Κατωπεράτο σε Αποκονής Ζωons

Εδώ αρκεί να εφαρλώ τον αντιστοφο μετασχηματισμό από την περίπτωση των ζωνοπεράτων

Αν έχω ζωνο αποκονής $[\omega_u, \omega_e]$ τότε $\underline{\omega} \rightarrow \frac{\omega}{\omega_u \omega_e - \omega^2}$ ($s \rightarrow \frac{s}{s^2 + \omega_u \omega_e}$)

6.5 Σχεδίαση Ψηφιακών FIR Φίλτρων

Μέχρι τώρα σχεδίασα αναλογικά FIR φίλτρα. Θέλω να βρω έναν βεβαβαιωμένο τρόπο σχεδίασης που θα μου δίνει αναλογικά τα οποία θα διακριθούν ως προδιαγραφές και i) θα έχουν ανεστραμένη μεταφοράς ριζών προς z ii) θα έχουν ορθό τους πόλους ενός μοναδιαίου κύκλου.

• Μέθοδος Απειρίθιτης Κρατικής Απόκρισης

Έστω ότι έχω αναλογικό FIR φίλτρο με $h_a(t) \xleftrightarrow{\mathcal{L}} H_a(s)$.

Δημιουργώ την $h_n = T_s h_a(nT_s)$, όπου $F\{h_n\} = H(e^{j\omega}) = \frac{1}{T_s} \sum_{n=-\infty}^{\infty} T_s H_a(j\frac{\omega+2\pi n}{T_s})$

Η μέθοδος της απειρίθιτης κρατικής απόκρισης παραβλέπει την αναδίπλωση συχνοτήτων και κρατάει μόνο τον κεντρικό όρο του αθροίσματος, δηλ $H(e^{j\omega}) = H_a(j\frac{\omega}{T_s})$, η οποία προκύπτει από τον βεβαβαιωμένο $\omega \rightarrow \frac{\omega}{T_s}$

Το βασικό μειονέκτημα αυτής της μεθόδου είναι πως το ~~φίλτρο~~^{σύνθετο} πρέπει να έχει μηδενική ενέργεια στην ζώνη συχνοτήτων $[\pi, +\infty)$, αλλιώς το φαινόμενο αναδίπλωσης εμφανίζεται εύκολα.

• Μέθοδος Διγραμμικού Μετασχηματισμού

Ξεκινώντας πάλι από αναλογικό FIR με $h_a(t) \xleftrightarrow{\mathcal{L}} H_a(s)$, ο γραμμικός μετασχηματισμός ορίζεται ως $s \rightarrow \frac{1-z^{-1}}{1+z^{-1}}$, ενώ η αντιστοίχιση αναλογικής με ψηφιακή συχνότητας δίνεται από την σχέση $\Omega = T_s \tan \frac{\omega}{2}$, η οποία είναι αντιστρέψιμη αμφότερα και περικλείει 1-1 αντιστοίχιση μεταξύ $(-\pi, \pi]$ και $(-\infty, +\infty)$.

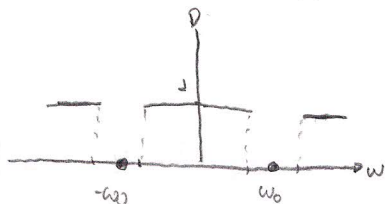
[Faint, illegible text at the top of the page, possibly a header or title.]

[The main body of the page contains several paragraphs of extremely faint, illegible text. The text is too light to be transcribed accurately.]

7.1 Φίλτρα Εγκοπής

Θέλω να σχεδιάσω φίλτρο που θα αποκόπτει μια αιχμή συχνότητας ω_0 .

$$\text{Αρχ } D(\omega) = \begin{cases} 0 & \omega = \omega_0 \\ 1 & \text{άλλω} \end{cases}$$



Καθώς ένα τέτοιο φίλτρο παρουσιάζει αβυσσότητα, ορίσω μια ζώνη φασών $[\omega_a, \omega_u]$ περιγύρω του ω_0 ώστε να μπορώ να υλοποιήσω το φίλτρο.

• FIR Φίλτρα Εγκοπής

$$\text{Εδώ } H(e^{j\omega_0}) = 0 \Leftrightarrow R(e^{j\omega_0}) = 0 \xrightarrow{\text{Differenki}} \sum_{n=0}^N \alpha_n \cos(n\omega) = 0 \quad (1)$$

Αν λύσω την (1) ως προς α_0 , προκύπτει $\alpha_0 = -\sum_{n=1}^N \alpha_n \cos(n\omega)$

Επίσης στο ω_0 , η $R(\omega)$ παρουσιάζει ελάχιστο και εφαρμόζω προκύβω, οπότε

$$\text{Εδώ } R^{(1)}(e^{j\omega_0}) = 0 \Leftrightarrow \sum_{n=1}^N \alpha_n \cdot n \cdot \sin(n\omega_0) = 0 \Leftrightarrow \alpha_1 = -(\sin(\omega_0))^{-1} \sum_{n=2}^N \alpha_n \cdot n \cdot \sin(n\omega_0)$$

Με τις δύο αυτές παρατηρήσεις προσδιορίζω 2 από τους συντελεστές του FIR φίλτρου, και πρέπει να υπολογίσω άλλους $N-2$.

Εδώ κρησιφοποιώ οποία μεθοδο που μου γινεται (χρησ αδιαφορια, min-max) και σχεδιαζω το φίλτρο μου.

• IIR Φίλτρα Εγκοπής

Είναι εύκολο να σχεδιάσω τέτοια IIR φίλτρα

Τα μόνον τα τοποθετώ γύρω από την αιχμή συχνότητας ενώ τους πόλους για να είναι αποστατη η φασήδωση

$$\text{Εχω λοιπόν } H(z) = A \frac{(z - e^{j\omega_0})(z - e^{-j\omega_0})}{(z - re^{j\omega_0})(z - re^{-j\omega_0})} = A \frac{z^2 - 2\cos(\omega_0)z + 1}{z^2 - 2r\cos(\omega_0)z + r^2}$$

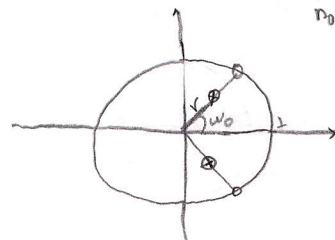
Θα υπολογίσω το A εδωίωστε η βελτιωμένη αμplitude του $H(z)$ να είναι 1.

$$\text{Εχω } \max_{\omega} \{ |H(e^{j\omega})| \} = \max \{ |H(0)|, |H(e^{j\pi})| \} \Leftrightarrow A = \frac{1 + r^2 + 2r\cos(\omega_0)}{2 + 2\cos(\omega_0)}$$

Το r γινεται κινείται στο $(0,1)$, όσο $r \rightarrow 0$ τόσο πιο ομαλότερο γινεται το φίλτρο.

Αφού έχω βρει το A , προσδιορίζω το r λύνοντας την $|H(e^{j\omega_0})|^2 = (1-\delta)^2$

Από τις 4 λύσεις που θα προκύψουν για το r , κρατάω την πιο κοντά στο 0



Μηδενικοί στον κωκρο πόλοι στον ακεραίο

7.2 Ψηφιακοί Διαφοριστές

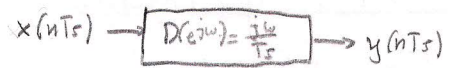
Από ιδιότητες Fourier ξέρω πως αν $x(t) \xrightarrow{F} X(j\omega)$ τότε $y(t) = x'(t) \leftrightarrow j\omega X(j\omega) = Y(j\omega)$

Έχω ακόμα $x(t) \xrightarrow{\text{digitize}} x(nT_s) \xrightarrow{F} \frac{1}{T_s} \sum_{k=-\infty}^{+\infty} X(j\omega - \frac{2\pi k}{T_s}) = X(e^{j\omega})$
 $y(t) \longrightarrow y(nT_s) \longleftrightarrow \frac{1}{T_s} \sum_{k=-\infty}^{+\infty} Y(j\omega - \frac{2\pi k}{T_s}) = Y(e^{j\omega})$

Υποθέτουμε ότι δεν υπάρχουν αναδιπλώσεις, δηλ $T_s \geq 2\pi/\omega_{max}$ και $x(t)$ πεπερασμένου εύρους, τότε για $\omega \in [-\pi, \pi]$ έχω:

$$X(e^{j\omega}) = \frac{1}{T_s} X(j\frac{\omega}{T_s}) \quad \text{και} \quad Y(e^{j\omega}) = \frac{1}{T_s} Y(j\frac{\omega}{T_s}) = \frac{1}{T_s} \frac{j\omega}{T_s} X(j\frac{\omega}{T_s}) = \frac{j\omega}{T_s} X(e^{j\omega})$$

Άρα έχω $Y(e^{j\omega}) = \underbrace{\frac{j\omega}{T_s}}_{D(\cdot)} X(e^{j\omega}) \Leftrightarrow \underline{D(e^{j\omega}) = j\frac{\omega}{T_s}}$



- Βλέπω πως $D(\cdot) \in \text{Im}$ άρα προσεγγίζω με $R(\cdot) = \sum_{n=1}^N b_n \sin(n\omega)$
- Μπορώ να συνδυάσω διαφοριστή και φίλτρο αλφά με ένα φίλτρο αλφά τύπου ΓΚΑΔ.

7.3 Ψηφιακοί Ολοκληρωτές

Όπως με πριν, αν $x(t) \xrightarrow{F} X(j\omega)$ τότε $y(t) = \int_{-\infty}^t x(\tau) d\tau \xrightarrow{F} \frac{1}{j\omega} X(j\omega) = Y(j\omega)$

Ακολουθώντας ίδια διαδικασία με πριν προκύπτει $\underline{D(e^{j\omega}) = \frac{T_s}{j\omega} = -j\frac{T_s}{\omega}}$, $-\pi \leq \omega \leq \pi$

Αν $\omega = 0$ ανήκει σε ζώνη αποκλισης, τότε δεν έχω πρόβλημα και προσεγγίζω όπως πριν αφα και εδώ $D(\cdot) \in \text{Im}$.

Αν $\omega = 0$ ανήκει σε ζώνη διαβάσει τότε $D(\cdot) = \infty$

Εδώ θα χρησιμοποιήσω την αναδρομική σχέση $y_n = y_{n-1} + \int_{(n-1)T_s}^{nT_s} x(\tau) d\tau$. Εκφράζοντας το ολοκληρωτή ως συνέλιξη έχω $y_n = y_{n-1} + x_n * h_n$, όπου h_n η απόκριση Ν όρων. Παίρνοντας ΖΕΣ της τελευταίας σχέσης έχω $\underline{H(z) = \frac{h_0 + h_1 z^{-1} + \dots + h_{N-1} z^{-(N-1)}}{1 - z^{-1}}}$

Προβλεπόμενη Ολοκληρωτική

• Κανονας Ορθογωνίου: $y_n = y_{n-1} + T_s x_{n-1} \xrightarrow{Z} H(z) = \frac{T_s z^{-1}}{1 - z^{-1}}$, $H(e^{j\omega}) = e^{-j\frac{\omega}{2}} \frac{T_s}{2j \sin \frac{\omega}{2}}$

χρη καλύτερη απόδοση φίλτρου χαμηλών

• Κανονας Τραπεζίου: $y_n = y_{n-1} + 0.5 T_s (x_{n-1} + x_n) \leftrightarrow H(z) = \frac{T_s}{2} \frac{1 + z^{-1}}{1 - z^{-1}}$

• Κανονας Simpson: $y_n = y_{n-2} + \frac{T_s}{3} (x_n + 4x_{n-1} + x_{n-2})$

Για $\omega \rightarrow \pi$ $\epsilon \rightarrow \infty$. Άρα πρη $T_s \geq 2\pi/\omega_{max}$ ώστε το συχνοτικό περιεχόμενο να ελαττωθεί σε ζώνη $[0, 0.5\pi]$

8 ΠΙΘΑΝΟΤΗΤΕΣ

8.1 Κατασκευάζοντας Πιθανότητες

Ένας χώρος πιθανοτήτων είναι ένα τριπλό (Θ, \mathcal{F}, P) , η οποία αποτελείται από:

- έναν δυνατόχωρο Θ , ο οποίος έχει ως στοιχεία όλα τα δυνατά αποτελέσματα των πιθανοτικών πειραμάτων
- ένα σύνολο γεγονότων \mathcal{F} , το οποίο είναι ένα δυναμοσύνολο του Θ (ή αλλιώς σ -άλγεβρα του Θ). Προφανώς $\Theta \in \mathcal{F}$, $\emptyset \in \mathcal{F}$, αν $A \in \mathcal{F}$ τότε $A^c \in \mathcal{F}$.
- μια συνάρτηση πιθανότητας $P: \mathcal{F} \rightarrow [0, 1]$ και είναι ο τρόπος με τον οποίο εκχωρούμε πιθανότητα σε γεγονότα.

Μια τωχάια μεταβλητή $X: \Theta \rightarrow \mathbb{R}$ αντιστοιχείει δείγματα του Θ σε πραγματικούς αριθμούς π.χ. coin toss, $\Theta = \{\text{heads}, \text{tails}\}$. Ορίω Τ.Μ $X(\theta) = \begin{cases} 1, & \text{αν } \theta = \text{heads} \\ 0, & \text{αν } \theta = \text{tails} \end{cases}$

Κάθε Τ.Μ ορίζει μετω σειράς βινόλια $A_x = \{\theta : X(\theta) \leq x\}$

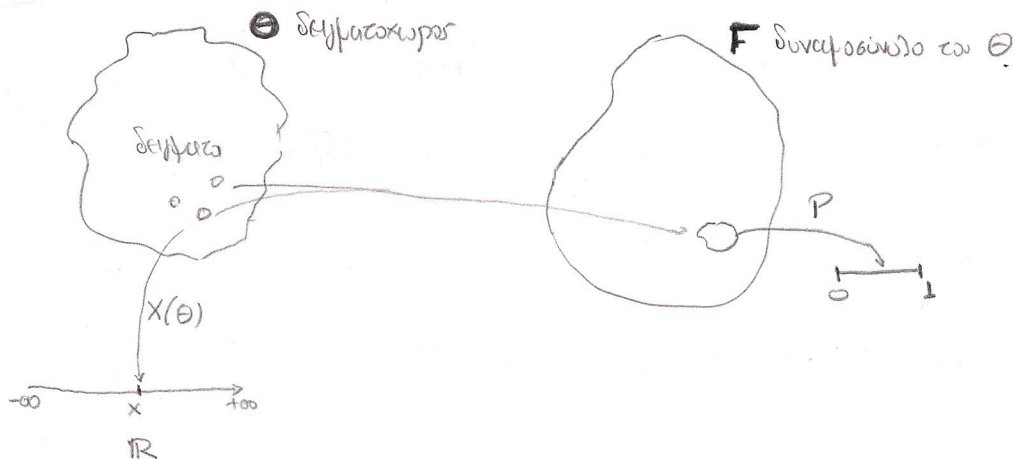
π.χ

$$A_0 = \{\theta : X(\theta) \leq 0\} = \{\text{tails}\}$$

$$A_1 = \{\theta : X(\theta) \leq 1\} = \{\text{heads}, \text{tails}\}$$

Αν η $X(\theta)$ είναι τέτοια ώστε $A_x \in \mathcal{F} \forall x \in \mathbb{R}$ τότε η $X(\theta)$ είναι μετρήσιμη και ονομάζεται τωχάια μεταβλητή.

Χώρος Πιθανότητας



Συναρτήσεις Κατανομής Πιθανότητας (CDF)

Η CDF μιας τυχαίας μεταβλητής X είναι μια συνάρτηση $F_X: \mathbb{R} \rightarrow [0, 1]$ και ορίζεται από τον τύπο $F_X(x) = \Pr\{X(\theta) \leq x\}$

Για κάθε CDF ισχύει:

- Η $F_X(x)$ είναι αύξουσα ως προς x
- $F_X(-\infty) = 0$, $F_X(+\infty) = 1$
- $\Pr\{a < X \leq b\} = F_X(b) - F_X(a)$

Συναρτήσεις Πυκνότητας Πιθανότητας (PDF)

Η PDF μιας τυχαίας μεταβλητής X είναι μια συνάρτηση $f_X: \mathbb{R} \rightarrow [0, 1]$, η οποία ικανοποιεί $F_X(x) = \int_{-\infty}^x f_X(t) dt \Leftrightarrow f_X(x) = \frac{dF_X(x)}{dx}$.

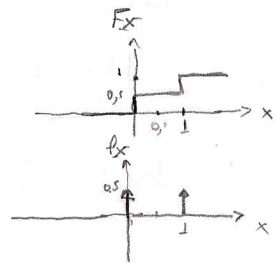
Για κάθε PDF ισχύει

$$\int_{-\infty}^{+\infty} f_X(x) dx = 1$$

π.χ για δίκαιο coin toss, $F_X(-1) = 0$, $F_X(0) = \frac{1}{2}$, $F_X(0,5) = \frac{1}{2}$, $F_X(1) = 1$

$f_X(-1) = 0$, $f_X(0) = \frac{1}{2}$, $f_X(0,5) = 0$, $f_X(1) = \frac{1}{2}$

! Στην διακριτή περίπτωση ορίζεται $f_X(x_i) = \Pr\{X(\theta) = x_i\}$



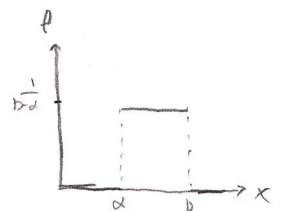
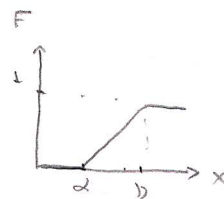
Καποιες από τις πιο βασικότερες CDF/PDF είναι:

Η ομοιόμορφη (uniform) κατανομή, όπου όλα τα στοιχεία του δείγματος είναι ισοιθάρτα.

Εδώ έχουμε

$$\text{CDF: } F(x) = \begin{cases} 0, & x < a \\ \frac{x-a}{b-a}, & a \leq x < b \\ 1, & x \geq b \end{cases}$$

$$\text{pdf: } f(x) = \begin{cases} \frac{1}{b-a}, & a \leq x \leq b \\ 0 & \text{αλλού} \end{cases}$$



Η κανονική (Gaussian) που οφθαλμίζεται με $N(x, m, \sigma)$.

Εδώ έχουμε $f(x) = \frac{1}{\sqrt{2\pi\sigma^2}} e^{-\frac{(x-m)^2}{2\sigma^2}}$

Στην ειδική περίπτωση ποσοστών $N(0,1)$, είναι $f(x) = \frac{1}{\sqrt{2\pi}} e^{-\frac{1}{2}x^2}$

8.2 Ponés

- Θα ονομάζω πονή n-οστής τάξης μιας τυχούς μεταβλητής $X(\theta)$ με pdf $f_X(x)$ των ποσοτήτων $E[X^n] = \int_{-\infty}^{+\infty} x^n f_X(x) dx$

Η πονή 1^{ης} τάξης $E[X] = \int_{-\infty}^{+\infty} x f_X(x) dx$ ονομάζεται εξοχικός μέσος όρος της Τ.Μ X , και τον συμβολίζω και ως \bar{X} ή μ .

- Γενικώς τις πονές εισάγοντας την έννοια της κεντρικής πονής η οποία ορίζεται ως $E[(X-\mu)^n] = \int_{-\infty}^{+\infty} (x-\mu)^n f_X(x) dx$, όπου μ ο εξοχικός μέσος όρος.

Την κεντρική πονή 2^{ης} τάξης των κωλύει ~~δοσ~~ ^{διασπορά} $\sigma_X^2 = E[(X-\mu)^2]$

Παρ Αν θελω να ανακατασκευάσω μια συνάρτηση με μια μόνο σειρά, τότε επιλέγω του μέσο όρο της συνάρτησης και ελαχιστοποιώ το μέσο τετραγωνικό σφάλμα.

π.χ Για δίκιο coin toss, $E[X] = \int_{-\infty}^{+\infty} x f_X(x) dx = 0 f_X(0) + 1 f_X(1) = \frac{1}{2}$

$$\sigma_X^2 = \frac{1}{2} (0 - \frac{1}{2})^2 + \frac{1}{2} (0 + \frac{1}{2})^2 = \frac{1}{4}$$

8.3 Πολλές Τυχαιές Μεταβλητές

Όταν έχω >1 Τ.Μ οι οποίες αλληλεπηρεάζουν. Εδώ θα υποθέσω πως έχω 2 Τ.Μ. $X_1(\theta), X_2(\theta)$

Joint CDF $F_{X_1, X_2}(x_1, x_2) = P\{X_1 \leq x_1, X_2 \leq x_2\}$

Joint PDF $f_{X_1, X_2}(x_1, x_2) = \frac{d^2 F_{X_1, X_2}(x_1, x_2)}{dx_1 dx_2}$

Δύο Τ.Μ X_1, X_2 είναι εξοχικά ανεξάρτητες αν $F_{X_1, X_2}(x_1, x_2) = F_{X_1}(x_1) F_{X_2}(x_2)$

η αντίστοιχα, αν $f_{X_1, X_2}(x_1, x_2) = f_{X_1}(x_1) f_{X_2}(x_2)$.

Συνσχέση (Covellation) $E[X_1, X_2] = \int \int x_1 x_2 f_{X_1, X_2}(x_1, x_2) dx_1 dx_2$

Αν $E[X_1, X_2] = E[X_1] E[X_2]$ τότε θα λέω πως οι X_1, X_2 είναι αβασχέτιστες

• Αν $E[X_1, X_2] = 0$
 τότε οι Τ.Μ
 έχουν μέσο όρο μηδέν

Αν οι X_1, X_2 είναι ανεξάρτητες τότε είναι και αβασχέτιστες

Αν οι X_1, X_2 είναι αβασχέτιστες και Gaussian τότε είναι και ανεξάρτητες.

Συνδιασπορά (Covariance) $cov(X_1, X_2) = E[(X_1 - \mu_1)(X_2 - \mu_2)]$

Αν $cov(X_1, X_2) = 0 \Leftrightarrow E[(X_1 - \mu_1)(X_2 - \mu_2)] = 0 \Leftrightarrow E[X_1 X_2] - \mu_1 E[X_2] - \mu_2 E[X_1] + \mu_1 \mu_2 = 0$

$\Leftrightarrow E[X_1 X_2] = E[X_1] E[X_2] \Leftrightarrow$ οι X_1, X_2 είναι αβασχέτιστες

Πίνακας Συνδιασπορών

Έστω οι Τ.Μ X_1, X_2, \dots, X_n και οι μέσοι όροι τους $\mu_1, \mu_2, \dots, \mu_n$.

Φοράω το διάνυσμα $X = [X_1 - \mu_1, X_2 - \mu_2, \dots, X_n - \mu_n]^T$ και ορίζω την πίνακα συνδιασπορών:

$$G = E[X X^T] = E \left[\begin{bmatrix} X_1 - \mu_1 \\ X_2 - \mu_2 \\ \vdots \\ X_n - \mu_n \end{bmatrix} [X_1 - \mu_1, X_2 - \mu_2, \dots, X_n - \mu_n] \right]$$

$$= \begin{bmatrix} \text{cov}(X_1, X_1) & \text{cov}(X_1, X_2) & \dots & \text{cov}(X_1, X_n) \\ \text{cov}(X_2, X_1) & \text{cov}(X_2, X_2) & \dots & \dots \\ \vdots & \vdots & \ddots & \vdots \\ \text{cov}(X_n, X_1) & \dots & \dots & \text{cov}(X_n, X_n) \end{bmatrix}$$

- Παρ 0 Πίνακας είναι συμμετρικός ως προς την διαγώνιο
- Παρ 2 Στην διαγώνιο έχουμε $\text{cov}(X_i, X_i) = \sigma_{X_i}^2$, δηλαδή διασπορές.
- Παρ 3 Το (i, j) στοιχείο έχει την $\text{cov}(X_i, X_j)$

8.4 Νόμοι της Στατιστικής

Νόμος των Μεγάλων Αριθμών

Έστω σταθερά Τ.Μ $X(\theta_1), X(\theta_2), \dots$ που είναι ίδια κατανομή, μέσο όρο μ και είναι ανεξάρτητες

Ορίζω $Y_k = \frac{1}{k} \sum_{i=1}^k X(\theta_i)$: Ο νόμος των Μεγάλων Αριθμών λέει πως $\lim_{k \rightarrow \infty} E[(Y_k - \mu)^2] = 0$

Αν: Πράγματι, $E[(Y_k - \mu)^2] = \frac{1}{k^2} E\left[\left(\sum_{i=1}^k X(\theta_i) - \mu k\right)^2\right] = \frac{1}{k^2} E\left[\left(\sum_{i=1}^k X(\theta_i) - \mu\right)^2\right] = \frac{1}{k^2} E\left[\sum (X(\theta_i) - \mu)^2\right]$

και από 0, ανεξάρτητες

$= \frac{\sigma^2}{k}$, το οποίο για $k \rightarrow \infty$, τείνει στο 0.

□ Άρα η διασπορά του αριθμητικού μέσου όρου k δειγμάτων είναι $\frac{\sigma^2}{k}$ και έχει μέσο όρο μ , από είναι καλή εκτίμηση του στατιστικού μέσου όρου, από δεν διαφέρει από το αληθινό.

Κεντρικό Οριακό Θεώρημα

Το προηγούμενο θεωρήμα μας λέει ότι ο αριθμητικός Μ.Ο είναι καλή προσέγγιση του στατιστικού Μ.Ο.

Το θεωρήμα αυτό βρίσκει την κατανομή του $Y_k - \mu$, δηλαδή του σφάλματος προσέγγισης,

δηλαδή $\lim_{k \rightarrow \infty} P_r \left\{ \frac{Y_k - \mu}{\left(\frac{\sigma}{\sqrt{k}}\right)} \leq x \right\} \sim N(0, 1)$, δηλαδή η κανονική κατανομή είναι Gaussian με $\mu=0$ και $\sigma^2=1$

Κανονική κατανομή

9. ΣΤΟΧΑΣΤΙΚΑ ΣΗΜΑΤΑ ΚΑΙ ΦΙΛΤΡΑ WIENER

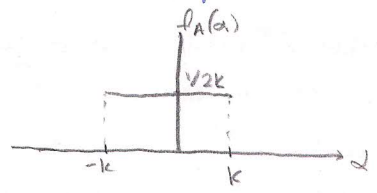
9.1 ΣΤΟΧΑΣΤΙΚΑ ΣΗΜΑΤΑ

Στο προηγούμενο κεφάλαιο, αποτελέσα ενός τυχαίου περάματος ύψου η επιή μιας τυχαίας μεταβλητής. Έδω, αποτελέσα προς περάματος θα είναι ένα σήμα, συνεχούς η διακριτού χρόνου. Καθε αποτελέσα του περάματος υποβάθεται υλοποίηση.

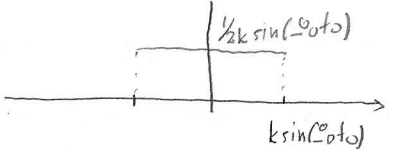
Έτσι θα παίρνω ένα στοχαστικό σήμα $x(t, \theta)$ (απεικονισα $x(n, \theta)$) όπου:

- Αν θιχάρω $\theta = \theta_i$ έχω μια συγκεκριμένη υλοποίηση του σήματος άρα το $x(t, \theta_i)$ είναι συνάρτηση του χρόνου.
- Αν θιχάρω $t = t_0$, τότε το $x(t_0, \theta)$ είναι μια τυχαία μεταβλητή.

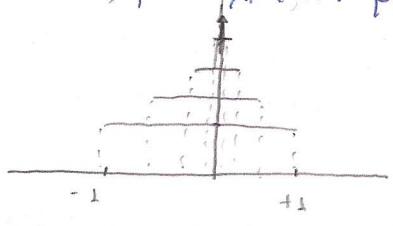
• Παράδειγμα Έδω το σήμα $X(t) = A \sin(\omega_0 t)$, όπου A είναι Τ.Μ η $(-k, k)$, $k > 0$. Το ηλατος διχάδη εω σήματος είναι μια Τ.Μ και συνεπώς το σήμα είναι στοχαστικό. Απο τω pdf της A έχω:



Αν παρώσω τον χρόνο σε κάποια στιγμή t_0 , τότε $X(t_0) = A \sin(\omega_0 t_0)$. Η pdf της $X(t_0)$ είναι:



Καθως μεταβάλλεται το t , μεταβάλλεται η μορφή της pdf



Έχω μια ακολουθία κατανομών που συγκρίνεται με $\delta(\cdot)$

Παρ. 1 Παρολο που οι κατανομές είναι διαφορετικές, έχω κοινό στοχαστικό μέσο όρο $\mu = 0$

Παρ. 2 Θα ήθελα η Τ.Μ $f(t)$, έδω εδω $X(t)$ να διακριεί τω ίδια pdf για κάθε t (εδω εδω σφραίνεται). Αυτό λέγεται βέλτιστητα πρώτης τάξης υπό τω απειρή αλλαία, και θα το έδωθε πιο αναλυτικά στην συνέχεια.

9.2 Στατιστικές 1^{ης} και 2^{ης} τάξης

• Αυτοσυσχετισμός και Ετεροσυσχετισμός

* εδώ ως συσχέτιση πάνω συνδυαστικά, αλλά είναι ίδιες

Η συνάρτηση αυτοσυσχετισμού μας δίνει τον συσχέτιση των σιφρών με τον εαυτό του σε δύο διαφορετικές χρονικές στιγμές, $r_X(t_1, t_0) = E[(X(t_0) - \mu_{t_0})(X(t_1) - \mu_{t_1})]$

Η συνάρτηση ετεροσυσχετισμού μας δίνει ποσο συσχέτιση είναι δύο σιφρών X, Y σε διαφορετικές χρονικές στιγμές t_1, t_2 , δηλ $r_{X,Y}(k) = E[(X(n) - \mu_X(n))(Y(n+k) - \mu_Y(n+k))]$
(εναρ, $r_{X,Y}(k) = E[(X(n) - \mu_X(n))(Y(n+k) - \mu_Y(n+k))]$)

• Σταθιρότητα

Μια στοχαστική διαδικασία καλείται:

- Αυστηρή Σταθιρή 1^{ης} τάξης: όταν για κάθε χρονική στιγμή t διατηρεί τον ίδια cdf/pdf (στοχαστική)
- Αβασθώς Σταθιρή 1^{ης} τάξης: όταν για κάθε χρονική στιγμή t διατηρεί τον ίδια pdf επι t .
- Αυστηρή Σταθιρή 2^{ης} τάξης: όταν η joint pdf των Τ.Μ που αφορούν σε δύο διαφορετικές στιγμές της στοχαστικής διαδικασίας δεν εξαρτάται από τις χρονικές στιγμές αλλά από την διαφορά τους, δηλ $F_X(t_1, t_2) = F_X(t_1 - t_2)$. Συνεπώς όλοι οι χρονικές στιγμές που λαμβάνουμε έχουν ίδια joint pdf/cdf.
- Αβασθώς σταθιρή 2^{ης} τάξης όταν είναι αβασθώς σταθιρή πρώτης τάξης και ισχύει $r_{X,Y}(n, k) = r_{X,Y}(k)$ δηλαδή η αυτοσυσχετισμός εξαρτάται από τον χρονικό διαφορά και όχι από τις χρονικές στιγμές.

Παρ. I: Η αυστηρή σταθιρότητα έχει να κάνει με cdf/pdf ενώ η αβασθώς σταθιρότητα έχει να κάνει με στατιστικές.

Παρ. II Οι σταθιρότητες που διαφοροποιούν πινακούς συνδυαστικών ειδικών μορφών.

Για t_0, t_1, \dots, t_n :

αβασθώς 2^{ης} τάξης
 $t_{i+1} - t_i = \Delta$

$$\begin{bmatrix} r(t_0, t_0) & r(t_0, t_1) & \dots & r(t_0, t_n) \\ r(t_1, t_0) & & & \vdots \\ \vdots & & & \vdots \\ r(t_n, t_0) & \dots & \dots & r(t_n, t_n) \end{bmatrix} \begin{matrix} \downarrow \\ \text{---} \\ \downarrow \end{matrix} \begin{bmatrix} r(0) & r(\Delta) & r(2\Delta) & \dots & r(n\Delta) \\ r(\Delta) & r(0) & r(\Delta) & & \vdots \\ r(2\Delta) & r(\Delta) & r(0) & & \vdots \\ \vdots & & & \ddots & \vdots \\ r(n\Delta) & & & & r(0) \end{bmatrix}$$

Μορφή Toeplitz

9.3 Φάσμα Ισχύος Στοχαστικών Σημάτων

Είδαμε πως αν $x(t)$ σήμα, τότε η ενέργεια σε κάθε συχνότητα ω δίνεται από την ποσότητα $|X(j\omega)|^2$

Εδώ το σήμα είναι μια στοχαστική διαδικασία $X_\theta(n)$. Αν πάρω μια υλοποίηση ~~ως~~ $x_{\theta_i}(n)$ τότε μπορώ κανονικά να υπολογίσω το σκευαστικό της περιεχομένου ως $|X_{\theta_i}(e^{j\omega})|^2$. Αυτή η ποσότητα όμως δεν θα λέει κάτι για το συχνοτικό περιεχόμενο όλης της διαδικασίας.

Θα χρησιμοποιήσω λοιπόν τον μέσο όρο, και θα ορίσω το μέσο φάσμα ισχύος ως $\Phi_x(e^{j\omega}) = E[|X_\theta(e^{j\omega})|^2]$

Αποδεικνύεται πως $\Phi_x(e^{j\omega}) = F\{r_x(n)\}$ όπου r_x η συνάρτηση αυτοσυσχετισμού του σήματος μας.

9.4 Λευκός Θόρυβος

Λευκός Θόρυβος είναι ένα ^{στοχαστικό} σήμα, του οποίου η συνάρτηση αυτοσυσχετισμού είναι της μορφής $R_x(t_1, t_2) = r_x(t_1, t_2) \delta(t_1 - t_2)$, το οποίο μπορεί να

γραφτεί και σαν μορφή $r_x(n) = \begin{cases} \lambda, & n=0 \\ 0 & \text{αλλιώς} \end{cases}$

! Εξάγεται $r_x(0) = E[(X_0 - \mu)^2] = \sigma^2$
δηλαδή η διακύμανση του σήματος είναι λ !

Συνεπώς το φάσμα ισχύος του λευκού θορύβου $\Phi_x(e^{j\omega}) = F\{r_x(n)\} = R_x(\omega) = \sum_{k=-\infty}^{\infty} r_x(k) e^{-j\omega k} = \lambda$

• Δεν είναι περιορισμένο στην κωτική που του διευθετεί του λευκού θορύβου αλλά θελόμενα έχει μηδενική μέση τιμή.

9.5 Εργodicότητα

Όταν ο στοχαστικός μέσος όρος μιας ^{Διαδικασίας} T μπορεί να προσεγγιστεί από τον χρονικό μέσο όρο, τότε η διαδικασία καλείται εργοδική 1^{ης} τάξης.

δηλαδή $\hat{E}[X] = \frac{1}{N} \sum_{n=0}^{N-1} X_\theta(n) \approx E[X]$

Όταν ισχύει το αντίστοιχο για την αυτοσυσχετιστική, τότε καλείται εργοδική 2^{ης} τάξης.

δηλαδή $r_{xx}(k) = \frac{1}{N} \sum_{n=0}^{N-1} x_{\theta_i}(n) x_{\theta_i}(n-k)$

9.6 Επίδραση ΓΧΑΣ σε Στοχαστικό Σήμα

Έστω πως σε ΓΧΑΣ με απόκριση $h(n)$ εφαρμόζω στοχαστικό σήμα $x_\theta(n)$. Τότε η είσοδος που θα πάρω είναι επίσης στοχαστικό σήμα $y_\theta(n) = h(n) * x_\theta(n) = \sum_{m=-\infty}^{\infty} h(m) x_\theta(n-m)$.

- Αν η $x_\theta(n)$ είναι αδρανώς σταθιμή 1^{us} σήμα τότε:

$$E[y_\theta(n)] = \mu_y^{(n)} = E\left[\sum_m h(m) x_\theta(n-m)\right] \underset{\substack{\text{linearity και} \\ h(m) \text{ ανεξαρτησιακά}}}{=} \sum_m h(m) * E[x_\theta(n-m)] = \sum_m h(m) \mu_x = \mu_x \sum_m h(m)$$

Συνεπώς $\mu_y = \mu_x \sum_m h(m)$. Αν $\mu_x = 0$ τότε $\mu_y = 0$

Η σχέση πως άρα για απόκριση πως και η $y_\theta(n)$ έχει σταθερό μέσο όρο μ_y και άρα είναι αδρανώς σταθιμή 1^{us} σήμα

- Αν η $x_\theta(n)$ είναι αδρανώς σταθιμή 2^{us} σήμα, με $\mu_x = 0$, αναπαράση αυτοσυσχετισμού $R_x(n)$ και φάσφα $\Phi_x(e^{j\omega})$:

$$\begin{aligned} \text{Έχω } r_{xy}(k) &= E[x_\theta(n+k) y_\theta(n)] \underset{\substack{\mu_x=0 \\ \mu_y=0}}{=} E\left[x_\theta(n+k) \sum_m h(m) x_\theta(n-m)\right] \underset{\substack{\text{αδρανώς } 2^{us} \text{ σήμα}}}{=} E\left[\sum_m h(m) x_\theta(n+k) x_\theta(n-m)\right] \\ &= \sum_m h(m) E[x(n+k) x(n-m)] \underset{\substack{\text{αδρανώς } 2^{us} \text{ σήμα}}}{=} \sum_m h(m) r_x(k+m) = h(-k) * r_x(k) \end{aligned}$$

Άρα $r_{x,y}(k) = h(-k) * r_x(k)$

Θέλω άρα να υπολογίσω των ακολουθία αυτοσυσχετισμού της είσοδος. Έχω:

$$r_y(k) = E[y(n) y(n-k)] = \sum_m h(m) r_{x,y}(k-m) = h(k) * r_{x,y}(k)$$

Άρα $r_y(k) = h(k) * r_{x,y}(k) = h(k) * h(-k) * r_x(k)$

Τέλος, θέλω να υπολογίσω το φάσφα ισχύος της είσοδος. Έχω:

$$\Phi_y(e^{j\omega}) = F\{r_y(n)\} = F\{h(k) * h(-k) * r_x(k)\} = F\{h(k)\} F\{h(-k)\} F\{r_x(k)\}$$

$\Phi_y(e^{j\omega}) = |H(e^{j\omega})|^2 \Phi_x(e^{j\omega})$

9.7 Βέλτιστο Γραμμικό Φίλτρο

πληροφορία θορύβος

Υποθέτω πως παρατηρώ σήμα $x_{\theta}(n) = \overset{\text{πληροφορία}}{s_{\theta}(n)} + \overset{\text{θορύβος}}{w_{\theta}(n)}$, όπου s, w αυτοσχετίστα, δηλαδή $r_{w,s}(n) = 0$

Θέλω να διηλεκτίσω μια εκτίμηση $\hat{s}_{\theta}(n)$ της πληροφορίας μέσω των παρατηρήσεων $x_{\theta}(n_i)$ που έχω. Επιλέγω γραμμική συνάρτηση, άρα $\hat{s}_{\theta}(n) = F(\dots, x(n-1), x(n), \dots) = \sum_m h(m)x(n-m)$ και συνεπώς $\hat{s}_{\theta}(n) = h(n) * x(n)$.

Υποθέτω πως τα s, x είναι αποκαιώς στασιμα 2^{ns} τάξης και $\mu_s = \mu_x = 0$.

• Ελαχιστοποίηση Σφάλματος

Ως συνάρτηση κόστους θα επιλέξω το βέσσο τετραγωνικό σφάλμα, άρα ως σκοπός έχω να $\min_{h_i} E[(s_{\theta}(n) - h(n) * x_{\theta}(n))^2]$. Παραγωγίζοντας την προηγούμενη σχέση και εξισώνοντας με το μηδέν προκύπτουν:

$$2E[(s_{\theta}(n) - h(n) * x_{\theta}(n)) * x(n-k)] \stackrel{E \text{ ανεξαρτησία}}{=} 0 \Leftrightarrow E[s(n)x(n-k)] = E[x(n-k) \sum_m h(m)x(n-m)]$$

$$\Leftrightarrow E[s(n)x(n-k)] = \sum_m h(m) \underbrace{E[x(n-k)x(n-m)]}_{r_x(k-m)} \Leftrightarrow \boxed{r_{s,x}(k) = h(m) * r_{x,x}(k)} \quad (1)$$

Παρ: Η σχέση αυτή μας λέει πως το βέλτιστο γραμμικό φίλτρο, όταν οδηγείται με την ακολουθία αυτοσχετίτικης των παρατηρήσεων θα μας δώσει ως εξόδο την ακολουθία ~~αυτοσχετίτικης~~ ^{ετέρο} αυτοσχετίτικης παρατηρήσεων-πληροφορίας

9.8 Φίλτρο Wiener

Οι συντελεστές του βελτιστού ως προς E^2 φίλτρου, πρέπει να ικανοποιούν όπως είδαμε πριν την σχέση $r_{s,x}(k) = h(k) * r_x(k)$. Παίρνοντας του μετ. Fourier τις σχέσεις αυτές

Έχω:
$$F\{r_{s,x}(k)\} = F\{h(k)\} \cdot F\{r_x(k)\} \Leftrightarrow \underline{H_w(e^{j\omega}) = \frac{\Phi_{s,s}(e^{j\omega})}{\Phi_x(e^{j\omega})}} \quad (1)$$

Αφού $x(n) = s(n) + w(n)$ έχω $s(n+k)x(n) = s(n+k)s(n) + s(n+k)w(n)$, οπώ αν εφαρμόσω

την μέση τιμή παίρνω $E[s(n+k)x(n)] = E[s(n+k)s(n)] + E[s(n+k)w(n)]$

$\Rightarrow r_{s,x}(k) = r_s(k) + r_{s,w}(k)$ $\rightarrow 0$, αφού s, w αλληλοέτιστα

$\Leftrightarrow r_{s,x}(k) = r_s(k)$

$\Leftrightarrow \underline{\Phi_{s,x}(e^{j\omega}) = \Phi_s(e^{j\omega})} \quad (2)$

Έχω επίσης $x(n)x(n+k) = (s(n) + w(n))x(n+k)$

$\Leftrightarrow r_x(k) = r_{s,x}(k) + r_{w,x}(k)$

$\Leftrightarrow r_x(k) = r_{s,x}(k) + r_w(k)$

$\Leftrightarrow \Phi_x(e^{j\omega}) = \Phi_{s,x}(e^{j\omega}) + \Phi_w(e^{j\omega})$

$\Leftrightarrow \underline{\Phi_x(e^{j\omega}) = \Phi_s(e^{j\omega}) + \Phi_w(e^{j\omega})} \quad (3)$

$r_{w,x}(k) = E[w(n)x(n+k)] = E[w(n)(s(n+k) + w(n+k))]$
 $= E[w(n)s(n+k)] + E[w(n)w(n+k)]$
 $= r_{w,s}(k) + r_w(k) = r_w(k)$

SNR, signal - noise ratio

Από (1) $\stackrel{(2)}{\Leftrightarrow} \stackrel{(3)}{\Leftrightarrow} H_w(e^{j\omega}) = \frac{\Phi_s(e^{j\omega})}{\Phi_s(e^{j\omega}) + \Phi_w(e^{j\omega})} \Leftrightarrow \underline{H_w(e^{j\omega}) = \frac{(\Phi_s/\Phi_w)}{1 + (\Phi_s/\Phi_w)}}$

Η πυκνότητα φασματός του σήματος $\hat{s}(n)$ θα είναι λοιπόν:

$$\Phi_{\hat{s}} = |H_w|^2 \Phi_x \quad (\text{όπως είδα στο 9.6})$$

Παρατηρώ τώρα πως:

- Αν $\Phi_s \gg \Phi_w$ τότε $H_w \sim 1$ και ουσιαστικά $\Phi_{\hat{s}} \sim \Phi_s$, το φίλτρο δηλαδή επιτρέπει την διάδοση συχνοτήτων όπου το σήμα πληροφορίας είναι πολύ ισχυρότερο του θορύβου.
- Αν $\Phi_s \ll \Phi_w$ τότε $H_w \sim 0$ και $\Phi_{\hat{s}} \sim 0$, το φίλτρο δηλαδή αποκοντεί συχνοτήτες όπου ο θόρυβος είναι πολύ ισχυρότερος του σήματος.
- Σε όλες τις άλλες περιπτώσεις η αποτελεσματική συχνοτητα πολλαπλασιάζεται με αριθμό $\in (0,1)$ ανάλογο με την σχετική ισχύ σήματος θορύβου.

9.9 FIR Φίλτρο Wiener

Το φίλτρο της 9.8 έχει απειρα κρ. αποκρίση \rightarrow μη υλοποιήσιμο.

Εάν θα θεωρήσω πεπερασμένη κρ. αποκρίση N όρων $h(0), \dots, h(N-1)$. Άρα

προσέγγισω των $s(n)$ με την $\hat{s}(n) = \sum_{m=0}^{N-1} h(m)x(n-m) = [h(0) \ h(1) \ \dots \ h(N-1)] \cdot \begin{bmatrix} x(n) \\ x(n-1) \\ \vdots \\ x(n-N+1) \end{bmatrix}$

Φορνώντας τα $h(n)$ που ελαχιστοποιούν το ϵ^2 , καταλήγουμε πάλι σε εξίσωση όπως

όση 9.7: $r_{sx}(n) = \sum_{m=0}^{N-1} h(m)r_x(n-m), \quad n=0, \dots, N-1$

μοτίρια
 \Leftrightarrow

$$\underbrace{\begin{bmatrix} r_{sx}(0) \\ r_{sx}(1) \\ \vdots \\ r_{sx}(N-1) \end{bmatrix}}_{R_{sx}} = \underbrace{\begin{bmatrix} r_x(0) & r_x(1) & \dots & r_x(N-1) \\ r_x(1) & r_x(0) & \dots & r_x(N-2) \\ \vdots & \vdots & \ddots & \vdots \\ r_x(N-1) & r_x(N-2) & \dots & r_x(0) \end{bmatrix}}_{\substack{\text{Μatrix συνδιασποράς της } X, \\ \text{Toeplitz αλφαιμετάβα σε όλες} \\ \text{ποτίες } 2^{η} \text{ τάξης}}} \underbrace{\begin{bmatrix} h(0) \\ h(1) \\ \vdots \\ h(N-1) \end{bmatrix}}_H$$

$\Leftrightarrow \underline{h_w = R_{xx}^{-1} R_{sx}}$, το βέλτιστο διάστημα φίλτρων.

Απόδειξη $h_w = R_{xx}^{-1} R_{sx}$

Εχω σαν διαθέσιμα μου τα $X_n = [x(0), x(1), \dots, x(N-1)]$ και φοκων $H = [h(0), h(1), \dots, h(N-1)]$

για να βρω $\hat{s}_n = H^T X_n$ ώστε να ελαχιστοποιώ την:

$$\begin{aligned} \epsilon^2 &= E[(s(n) - \hat{s}(n))^2] = E[(s_n - H^T X_n)^2] = E[s_n^2 + (H^T X_n)^2 - 2H^T s_n X_n] \\ &= E[s_n^2] + H^T E[X_n X_n^T] H - 2H^T E[s_n X_n] \\ &= R_{ss} + H^T R_{xx} H - 2H^T R_{sx} \end{aligned}$$

Παίρνοντας την παράγωγο = 0 ως προς H , έχω:

$$2R_{xx}H - 2R_{sx} = 0 \Leftrightarrow R_{sx} = R_{xx}H \leftarrow H = R_{xx}^{-1} R_{sx}$$

Ίσως ως R συμμετρικός, $\frac{d}{dx} x^T A x = 2Ax$

Handwritten text at the top right, possibly a date or page reference.

Main body of handwritten text, appearing as a list or series of entries.

Lower section of handwritten text, continuing the list or entries.

1ο ΜΕΡΟΣ

1.1 " Εστω αιτιατό ΓΧΑΣ με $h(t) \xrightarrow{L} H(s)$. Αν διαμετροληπτικότητα των $h(t)$ με p_s τότε προκύπτει $h[n] \xrightarrow{Z} H(z)$. ΝΑΟ α) Αν $H(s)$ λογος πολυωνύμων, τότε $H(z)$ λογος πολυωνύμων. β) Αν $H(s)$ ευσταθής τότε $H(z)$ ευσταθής. " (2.11, βιβλίο)

Αν: α) $H(s)$ λογος πολυωνύμων $\rightarrow H(s) = \frac{b_0 + b_1 s^1 + \dots + b_M s^M}{1 + \alpha_1 s + \dots + \alpha_N s^N} = \underbrace{\frac{A_1}{s - s_1}}_{\text{συνθετες}} + \dots + \underbrace{\frac{A_N}{s - s_N}}_{\text{πόλοι}} \quad (1)$

μπορώ να ορίσω το κλάσμα κατά τα γινωστά. Τυρά ανω

$$L^{-1}\{H(s)\} = h(t) = A_1 e^{s_1 t} u(t) + A_2 e^{s_2 t} u(t) + \dots + A_N e^{s_N t} u(t)$$

Διαμετροληπτικότητα των παραπάνω με $p_s \rightarrow T_s$ προκύπτει

$$h[n] = (A_1 e^{s_1 T_s n} + A_2 e^{s_2 T_s n} + \dots + A_N e^{s_N T_s n}) u[n]$$

$$= A_1 (e^{s_1 T_s})^n u[n] + \dots + A_N (e^{s_N T_s})^n u[n]$$

Αρα $H(z) = \frac{A_1}{1 - \underbrace{e^{s_1 T_s}}_{z_1} z^{-1}} + \dots + \frac{A_N}{1 - \underbrace{e^{s_N T_s}}_{z_N} z^{-1}}$, ο οποίος γίνεται εύκολο λογος πολυωνύμων

β) Αν το sys ευσταθές, τότε $Re\{s_i\} < 0$
 Όπως αποδεικνύεται πως $|z_i| = |e^{s_i T_s}| \stackrel{\substack{T_s > 0 \\ s_i < 0}}{=} |e^{Re\{s_i\} T_s}| < 1$. Αρα είναι ευσταθές και το $h[n]$ αφού έχει πόλους εντός του μοναδιαίου κύκλου.

1.2 " Να βρεθεί p_s για τα α) $x(t) = \begin{cases} \cos(\alpha t), & \forall t \in \mathbb{R} - \mathbb{Q} \\ \lambda, & \forall t \in \mathbb{Q} \end{cases}$ β) $x(t) = \begin{cases} \lambda, & \forall t \in \mathbb{R} - \mathbb{Q} \\ \cos(\alpha t), & \forall t \in \mathbb{Q} \end{cases}$
 οπού \mathbb{Q} απεριο, αριθμητικό σύνολο. "

Αν: α) Η $x(t)$ είναι αθέτως ισοδύναμη ($\langle x(t), e^{j\omega t} \rangle = \langle \cos(\alpha t), e^{j\omega t} \rangle$) με την $\cos(\alpha t)$ αφού διαφέρουν σε αριθμητικό πλήθος σημείων. Αρα η p_s καθορίζεται στο το συνημίτονο και είναι $f_m = \frac{\alpha}{2\pi} \rightarrow p_s = \frac{\alpha}{\pi}$

β) Αντίθετα με το α) εδώ η $x(t)$ είναι αθέτως ισοδύναμη με την σταθερή λ .
 Αρα $f_m = 0 \rightarrow p_s = \text{εpsilon}$

1.3 " Να βρεθεί η f_s για το $x(t) = e^{\alpha t} u(t)$ "

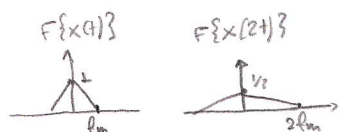
Αν: $F\{x(t)\} = \frac{1}{j\omega - \alpha} \neq 0$ για κάθε ω . Άρα $\omega_{max} = +\infty \rightarrow$ δεν υπάρχει f_s

1.4 " Αν ο πολλαπλασιασμός για το $x(t)$ είναι ω_s (αυτ. f_s), ποιος είναι για τα
 α) $x^{(1)}(t)$ β) $x(2t)$ γ) $x^2(t)$ δ) $x(t) \cos(\omega_0 t)$ "

α) Έχω $x^{(1)}(t) \xrightarrow{F} j\omega X(j\omega) = Y(j\omega)$. Άρα αν $X(j\omega) = 0 \rightarrow Y(j\omega) = 0$

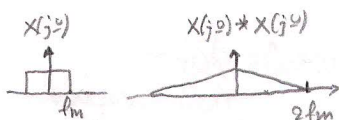
Συνεπώς δεν μεταβάλλεται ο f_s

β) $x(2t) \xrightarrow{F} \frac{1}{2} X(j\frac{\omega}{2})$, έχω ελάττωση αντιστάθμισης κατά παράγοντα 2 στην συχνότητα



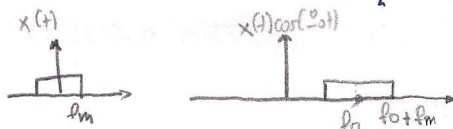
Άρα $\omega'_m = 2\omega_m \rightarrow f'_s = 2f_s = 4f_m$

γ) $x^2(t) = x(t) x(t) \xrightarrow{F} \frac{1}{2\pi} X(j\omega) * X(j\omega)$. Ήρω πως αν $X(j\omega)$ έχει εύρος M τότε ο



$X(j\omega) * X(j\omega)$ έχει εύρος $2M$. Συνεπώς $\omega'_m = 2\omega_m \rightarrow f'_s = 2f_s$

δ) $x(t) \cos(\omega_0 t) \xrightarrow{F} \frac{1}{2} [X(j(\omega - \omega_0)) + X(j(\omega + \omega_0))]$



Άρα $\omega'_m = \omega_0 + \omega_m \rightarrow f'_s = f_0 + f_s/2$

1.5 " Ίσως $x(t)$ με $\omega_{max} = 20$ kHz περνά από φίλτρο που αποκρούει τις $5 \text{ kHz} \leq f \leq 30 \text{ kHz}$. Το φίλτρο είναι ψηφιακό, άρα πριν πρώτα να διαγραφοποιηθεί το $x(t)$ και μετά να το φιλτράρω. Να βρεθεί η f_s και η κρ. απόκριση $H(e^{j\omega})$ του φίλτρου. "

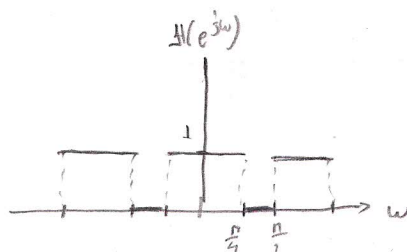
(Αναθ, Γραφ Βελτίω)

Αν: Πά να μω έχω αναδιόρθωση θέλω $f_s = 2f_m = 40 \text{ kHz}$

Αυτό μου δίνει mapping στις ψηφ. συχνότητες $f = \lambda f_s \Rightarrow \omega = \omega_s \Rightarrow \omega = \frac{2\pi f}{f_s}$

Άρα το διαίτημα $\{5 \text{ kHz}, 30 \text{ kHz}\}$ γίνεται μαρ στο $\{\frac{2\pi \cdot 5}{40}, \frac{2\pi \cdot 30}{40}\} = \{\frac{\pi}{4}, \frac{3\pi}{2}\}$

Άρα το φίλτρο έχει τη μορφή



1.6 " Σήμα με $f_m = 1 \text{ kHz}$, εστω $x(t)$. Εμφανίζεται σφάλμα $w(t) = A \sin(2\pi 50t)$.
 Να σχεδιάσει ψηφ. φίλτρο με εφόδο $y[n] = x[n] + \alpha x[n-1] + \beta x[n-2]$ που να απομακρύνει τον θόρυβο. (Ασκ. 9, Έκτ. Βιβλίου)

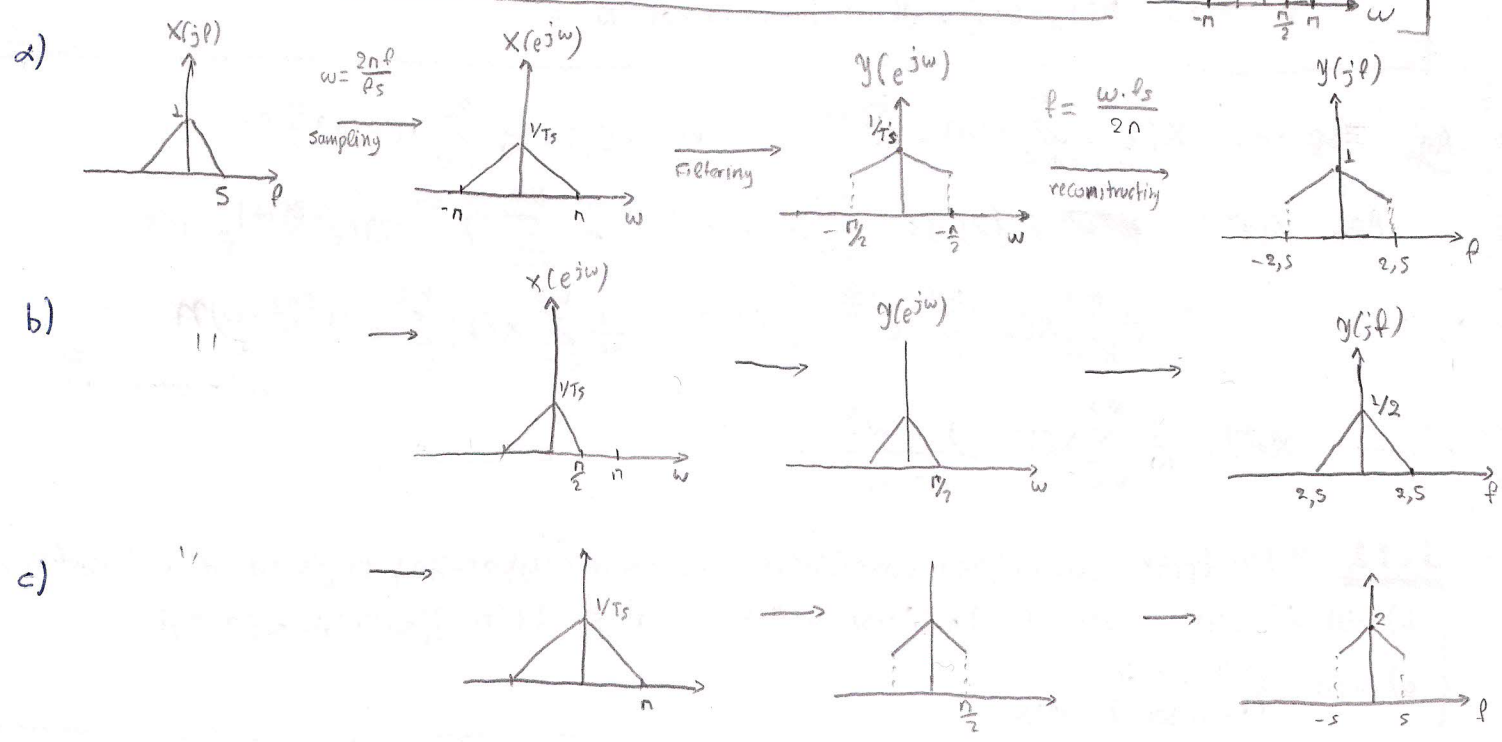
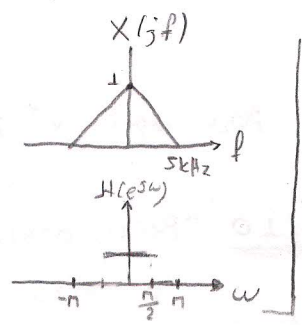
Αν: Δειγματοληπτω με $f_s = 2f_m = 2 \text{ kHz}$. Άρα ο θόρυβος βρίσκεται στην ψηφιακή συχνότητα $\omega_0 = \frac{2\pi \cdot 50}{2000} = 0,05\pi$. ($f_0 = 0,025$).

Εστω $H(e^{j\omega_0}) = 0$ Έχω $Y(e^{j\omega}) = X(e^{j\omega}) + \alpha e^{-j\omega} X(e^{j\omega}) + \beta e^{-j2\omega} X(e^{j\omega})$

$\Leftrightarrow \frac{Y(e^{j\omega})}{X(e^{j\omega})} = H(e^{j\omega}) = 1 + \alpha e^{-j\omega} + \beta e^{-j2\omega} = (1 - c e^{-j\omega})(1 - d e^{-j\omega})$, οπώ $d = -c/d$
 $b = c+d$

Άρα $H(e^{j\omega_0}) = 0 \Leftrightarrow \begin{cases} 1 - c e^{-j\omega_0} = 0 \\ 1 - d e^{-j2\omega_0} = 0 \end{cases} \Leftrightarrow \begin{cases} c = e^{j\omega_0} \\ d = e^{-j\omega_0} \end{cases} \Leftrightarrow \begin{cases} \alpha = -2 \cos(0,05\pi) \\ \beta = 1 \end{cases}$

1.7 Δειγματοληπτούμε το $x(t)$ με f_1 , το περνάμε από φίλτρο $H(e^{j\omega})$ και το ανακτασθένάωμε με f_2 , παίρνουμε στην εφόδο $y(t)$. Να βρεθεί ο $Y(j\omega)$ αν α) $f_1 = f_2 = 10 \text{ kHz}$ β) $f_1 = 20 \text{ kHz}$ $f_2 = 10 \text{ kHz}$ γ) $f_1 = 10 \text{ kHz}$ $f_2 = 20 \text{ kHz}$



1.8 " Έστω $x[n] = \{1, -1, 2, 3, 0, 0\} \xrightarrow{\text{DFT}} X[k]$. Να βρεθεί σε ποια ακολουθία α αντιστοιχεί ο $W_3^{2k} X[k]$ χωρίς χρήση DFT, DFT⁻¹. " (4.5, Βιβλίο)

Αν: $y[k] = W_3^{2k} X[k] = e^{-j\frac{2\pi}{3}2k} X[k] = e^{-j\frac{2\pi}{3}4k} X[k]$.

Από ιδιότητα ομοιότητας, $y[n] = x[n-4]_6 = \{2, 3, 0, 0, 1, -1\}$

1.9 " Υπολογίστε IFFT μέσω FFT "

Αν: Μπορώ να υπολογίσω FFT, άρα την σχέση $X[k] = \sum_{n=0}^{N-1} x[n] e^{-j\frac{2\pi}{N}nk}$ (1)

Θέλω να υπολογίσω την $x[n] = \frac{1}{N} \sum_{k=0}^{N-1} X[k] e^{j\frac{2\pi}{N}nk}$

$\Leftrightarrow N x[n] = \sum_{k=0}^{N-1} X[k] e^{j\frac{2\pi}{N}nk}$

$\Leftrightarrow N x^*[n] = \sum_{k=0}^{N-1} X^*[k] e^{-j\frac{2\pi}{N}nk} = \text{DFT}\{X^*[k]\}$

Αρα input $X^*[k] \xrightarrow{\text{FFT}} N x^*[n] \xrightarrow{(\cdot)^*} x[n]$

1.10 " Βρείτε σχήμα παρέρθεσης που να υπολογίσει του $F\{x[n]\} = X(e^{j\omega})$, χρησιμοποιώντας τα $X[k] = \text{DFT}\{x[n]\}$. Η $x[n]$ έχει μήκος N . "

Αν: Ξέρω τα $X[k] = \sum_{n=0}^{N-1} x[n] e^{-j\frac{2\pi}{N}nk}$. Γράφω $x[n] = \frac{1}{N} \sum_{k=0}^{N-1} X[k] e^{j\frac{2\pi}{N}nk}$ (1)

Αρα $X(e^{j\omega}) = F\{x[n]\} = \sum_{n=0}^{N-1} x[n] e^{-j\omega n} \stackrel{(1)}{=} \sum_{n=0}^{N-1} \left(\frac{1}{N} \sum_{k=0}^{N-1} X[k] e^{j\frac{2\pi}{N}nk} \right) e^{-j\omega n}$
 $= \frac{1}{N} \sum_{k=0}^{N-1} X[k] \left(\sum_{n=0}^{N-1} e^{j\frac{2\pi}{N}nk} e^{-j\omega n} \right) = \frac{1}{N} \sum_{k=0}^{N-1} X[k] \sum_{n=0}^{N-1} \underbrace{e^{j\left(\frac{2\pi k}{N} - \omega\right)n}}_{\alpha^n, \alpha = e^{j\left(\frac{2\pi k}{N} - \omega\right)}}$

$X(e^{j\omega}) = \frac{1}{N} \sum_{k=0}^{N-1} X[k] \frac{1 - \alpha^N}{1 - \alpha}$

1.11 " Να βρεθεί, αν υπάρχει, κατάλληλη αντιστροφή ζεύγματος για τα α) $x(t) = \cos(200t)$

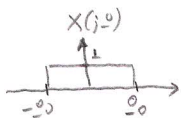
b) $x(t) = e^{-4t} u(t)$ c) $x(t) = F^{-1}\{u(\sigma + \sigma_0) - u(\sigma - \sigma_0)\}$ d) $F^{-1}\{F\{z(t)\}[u(\sigma + \sigma_0) - u(\sigma - \sigma_0)]\}$

e) $x(t) = \begin{cases} 4, & t=2 \\ 2\cos(100t), & \text{άλλω.} \end{cases}$

Αν: 1) $x(t) = \cos(2\pi 100t) \rightarrow f_{\max} = 100 \rightarrow f_s = 200$

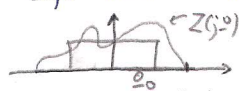
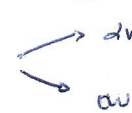
2) Αόκ 1.3

3) $F\{x(t)\} = u(\sigma + \sigma_0) - u(\sigma - \sigma_0)$

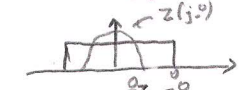


Αρα $f_{\max} = \sigma_0 \rightarrow f_s = 2\sigma_0$

4) $F\{x(t)\} = F\{z(t)\}[u(\sigma + \sigma_0) - u(\sigma - \sigma_0)]$



Τότε $f_m = \frac{2\sigma_0}{2\pi}$



Τότε $f_m = \frac{2\sigma_z}{2\pi}$

5) Αόκ 1.2

1.12 Να βρεθούν 3 σήματα που αν δειγματοληπτηθούν με ~~κατάλληλα~~^{συχνότητα} $f_s = 40 \text{ kHz}$, παράγεται το σήμα $x[n] = e^{j\frac{\pi}{8}n}$

Αν: Είναι $x[n] = e^{j2\pi \frac{1}{16}n}$, άρα $f = 1/16$

• Αν δώ υπήρχε αναδίπλωση τότε το συνεχές σήμα ήταν $x(t) = e^{j2\pi ft}$ το οποίο όταν δειγματοληπτήθηκε με f_s (T_s) έγινε $x[n] = e^{j2\pi fnT_s} = e^{j2\pi \frac{f}{f_s}n}$

$$\text{Άρα } \frac{f}{f_s} = \frac{1}{16} \Rightarrow f = 2,5 \text{ kHz}$$

• Αν υπήρχε αναδίπλωση, όπου $f' > f_s$, τότε $x[n] = e^{j2\pi \frac{f+kf_s}{f_s}n}$

$$\text{Άρα } f' = \frac{f+kf_s}{f_s} \begin{array}{l} \xrightarrow{k=1} f' = 42,5 \text{ kHz} \\ \xrightarrow{k=2} f' = 82,5 \text{ kHz} \\ \vdots \end{array}$$

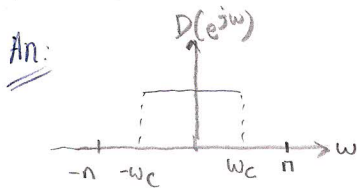
• Αν $f_s > 2f''$ αλλά $f_s < 2f'$ τότε είχαμε αναδίπλωση ικανοποιητικά ως προς της $\frac{f_s}{2} = 20 \text{ kHz}$

$$\text{Άρα } f'' = 37,5 \text{ kHz}$$

~~_____~~ _____

2ο ΜΕΡΟΣ

2.1 "Να σχεδιαστεί κατωτέρω FIR φίλτρο μήκους $2N+1$, με συχνότητα αποκοπής ω_c , με χρήση τετραγωνικού παραθύρου."



Θα βρω τους όρους της σειράς Fourier. Είναι:

$$\bullet n=0, d[0] = \frac{1}{2n} \int_{-\omega_c}^{+\omega_c} D(e^{j\omega}) e^{j0\omega} d\omega = \frac{\omega_c}{\pi}$$

$$\bullet n \neq 0, d[n] = \frac{1}{2n} \int_{-\omega_c}^{\omega_c} e^{jn\omega} d\omega = \dots = \frac{\sin(\omega_c n)}{\pi n}$$

Παρατηρώ πως $d[-n] = d[n]$. Αυτό συμβαίνει επειδή η DC είναι αρτία.

Πολλώ με τετρ. παράθυρο για να κρατήσω τους $2N+1$ κυρτικούς όρους ελεύθερα.

2.2 "Να σχεδιαστεί FIR, κατωτέρω, γραμμικής φάσης, μήκους $N=7$, με $\omega_c = 0,3\pi$ φίλτρο με χρήση τριγωνικού παραθύρου."

Αν: Αφού γραμμικής φάσης, $N=7$ και $D(e^{j\omega})$ συμμετρική, τότε οι συντελεστές είναι της μορφής $h[3], h[2], h[1], h[0], h[1], h[2], h[3]$.

Ακολουθώ όπως πριν για να υπολογίσω τα $d[n]$
$$d[n] = \frac{1}{2n} \int_{-\omega_c}^{\omega_c} e^{jn\omega} d\omega$$

Έχω το τριγωνικό παράθυρο
$$w[n] = \begin{cases} 1 - \frac{|n|}{N+1}, & n = 0, \pm 1, \pm 2, \pm 3 \\ 0 & \text{αλλιώς} \end{cases}$$

Άρα $h[n] = d[n]w[n]$

2.3 "FIR ^{→ θεωρώ ως προς e^2} γραμμικής φάσης, μήκους 3, με περιοχή διάβασης $[0, 0,3\pi]$ και αποκοπής $[0,4\pi, \pi]$ α) Η DC είναι γραμμική στην περιοχή μετάβασης β) με γινόμενα διαφορική"

Αν: α) Εδώ μπορώ να ορίσω την D , άρα όπως στις παραπάνω

β) FIR γφ. φάσης, μήκους 3, DC) αρτία \rightarrow συντελεστές φίλτρου $h[1], h[0], h[1]$

Άρα α) τρόπος) $H(e^{j\omega}) = h[1] + h[0]e^{-j\omega} + h[1]e^{-j2\omega} = e^{-j\omega} [h[0] + 2h[1]\cos(\omega)]$

β) τρόπος) Από θεωρία, $D(\cdot) \in \mathbb{R} \rightarrow$ προσεγγίζω με $\sum_{k=0}^{\pm} d[k] \cos(k\omega)$ $R(e^{j\omega})$

Βρίσκω τώρα το σφάλμα
$$E^2(h[0], h[1]) = \int (D(e^{j\omega}) - R(e^{j\omega}))^2 d\omega \quad (1)$$

$$\left. \begin{aligned} \frac{d(1)}{dh[0]} &= 0 \Rightarrow \\ \frac{d(1)}{dh[1]} &= 0 \Rightarrow \end{aligned} \right\} \begin{array}{l} 2 \text{ εξισώσεις, 2 αγνώστους} \rightarrow \text{προσδιορίζω τα } h[0], h[1] \end{array}$$

2.4 " Όπως στην 2.3, αλλά min-max "

Αν: Έχουμε ιδίες $D(\cdot)$ και $R(e^{j\omega}) = h[0] + 2h[1]\cos(\omega)$ όπως στην 2.3.

$$\text{Έχω λοιπόν } E(\omega) = |D(\omega) - R(\omega)| \quad (2)$$

Από το Θ. Διασπαράξης, πρέπει να βρω 3 βέλτιστα σημεία $\omega_1 < \omega_2 < \omega_3$ τέτοια ώστε

$$E(\omega_1) = -E(\omega_2) = E(\omega_3) = \varepsilon = \max_{\omega \in T} E(\omega)$$

$$\text{ή} \quad -E(\omega_1) = E(\omega_2) = -E(\omega_3) = \delta = \max_{\omega \in T} E(\omega) \quad \text{αλληλοεικασά,}$$

$$\text{Παρατηρώ τώρα πως } \frac{E(\omega)}{d\omega} = E'(\omega) = D'(\omega) - R'(\omega) = -R'(\omega) = -2h[1]\sin(\omega)$$

0, αφού D σταθερή στο T

Όπως $\sin(\omega) \geq 0$ για $\omega \in [0, \pi] \Rightarrow E'(\omega) \leq 0 \rightarrow E(\omega)$ (γινώσκως) φθίνουσα.

Συνεπώς τα ακρότατα της $E(\cdot)$ είναι τα ακραία των διαστημάτων ενδιαφέροντος, δηλαδή τα σημεία $\omega_1 = 0$, $\omega_2 = 0.3\pi$, $\omega_3 = 0.4\pi$, $\omega_4 = \pi$

Από αυτά προκύπτουν οι 3-άδες $(0, 0.4\pi, \pi)$
 $(0, 0.3\pi, \pi)$ } Απορρίπτονται γιατί δεν εμφανίζεται $E(\cdot)$
 $(0, 0.3\pi, 0.4\pi)$ } εναλλακτικό προσήκο
 $(0.3\pi, 0.4\pi, \pi)$

προσδιορίζω 2 διαφορετικές 3-άδες $h[0], h[1]$, ε δύνανται το sys $\left. \begin{array}{l} (1) |_{\omega_1} = \varepsilon \\ (2) |_{\omega_2} = -\varepsilon \\ (3) |_{\omega_3} = \varepsilon \end{array} \right\} \text{ ή } \left. \begin{array}{l} (1) |_{\omega_2} = -\varepsilon \\ (2) |_{\omega_3} = \varepsilon \\ (3) |_{\omega_4} = \varepsilon \end{array} \right\}$
 και εναρμόζω από το τελευταίο βέλτιστο δείγμα αυτό ε βρέθηκε σωστά.

2.5 " FIR, γρ. φίλτρος, μήκους 5, εγκώνης, που προσεγγίζει κατά την min-max αντά

$$\text{Την συνάρτηση } D(e^{j\omega}) = \begin{cases} 1, & 0 \leq \omega \leq \frac{\pi}{4} \\ 0, & \omega = 0, 5\pi \\ 1, & \frac{3\pi}{4} \leq \omega \leq \pi \end{cases}$$

Αν: $D(\cdot) \in \mathbb{R}$ και οφείτουμε να βρούμε συντελεστές $h[2], h[1], h[0], h[1], h[2]$, καθ' ύστερον $N=2$

$$\text{και } R(\omega) = \alpha[0] + 2\alpha[1]\cos(\omega) + 2\alpha[2]\cos(2\omega)$$

$$\bullet \text{ Έχω } D(e^{j\frac{\pi}{2}}) = 0 \Rightarrow R(e^{j\frac{\pi}{2}}) = 0 \Rightarrow \alpha[0] = 2\alpha[2]$$

$$\bullet \text{ Έχω } R'(e^{j\frac{\pi}{4}}) = 0 \Rightarrow \alpha[1] = 0 \rightarrow \text{Αρα } R(\omega) = 2\alpha[2] + 2\alpha[2]\cos(2\omega)$$

Είναι $R'(\omega) = -4\alpha[2]\sin(2\omega)$, άρα $E' = |D(\cdot) - R(\cdot)|'$ γινώσκως φθίνουσα.

Επεται βολέω όπως στην 2.4 ...

$$\text{Τελικά } h[n] = \left\{ \begin{array}{ccccc} h[0] & h[1] & h[2] & h[3] & h[4] \\ \uparrow & \uparrow & \uparrow & \uparrow & \uparrow \\ \alpha[2] & \alpha[1] & \alpha[0] & \alpha[1] & \alpha[2] \end{array} \right\}$$

2.6 " Έστω $D(\omega) = \sum_{n=0}^{N+1} d[n] \cos^n(\omega)$. Να προσεγγιστεί με FIR φίλτρο φήκους $L = 2N+1$, γρ. φάσης α) Με την έννοια min-max β) με ελάχιστα τετράγωνα. Να βρεθεί σφάλμα.

Αν: Από ποσώνουφα Chebyshev έχω $T_k(x) = \cos(k \cos^{-1}(x))$, $|x| \leq 1$
 και αναδρομικά, $T_0(x) = 1$, $T_1(x) = x$, $T_k(x) = 2xT_{k-1}(x) - T_{k-2}(x)$.

Όπως $|\cos(\omega)| \leq 1$, αρκεί για $x = \cos(\omega)$ έχω:

- $T_0(\cos(\omega)) = \cos(0 \cdot \omega) = 1$
- $T_1(\cos(\omega)) = \cos(1 \cdot \omega) = \cos(\omega)$
- $T_2(\cos(\omega)) = \cos(2 \cdot \omega) = 2\cos^2(\omega) - 1$

$T_k(\cos(\omega)) = \cos(k\omega) = 2^{k-1} \cos^k(\omega) + \dots$ {χαμηλότερης τάξης} {δυνάμεις του cos} ...

$\Leftrightarrow \cos^k(\omega) = \frac{1}{2^{k-1}} (\cos(k\omega) - \dots)$

$\Leftrightarrow \cos^k(\omega) = \sum_{n=0}^k a[n] \cos(n\omega) \rightarrow D(\omega) = \sum_{n=0}^{N+1} d[n] \cos^n(\omega) = \sum_{n=0}^{N+1} \hat{d}[n] \cos(n\omega)$

α) Αφού $D(\omega) = D(\omega)$ αρκεί κ' $D \in \mathbb{R}$ προσεγγιστώ με $R(\omega) = \sum_{n=0}^N \hat{d}[n] \cos(n\omega)$.

Θα διαλέξω $\hat{d}[n] = d[n+1]$, αρκεί $E(\omega) = d[n+1] \cos((N+1)\omega)$

Ευκολία βλέπω τώρα πως $\max E(\omega) = \pm d[n+1]$ για $\cos((N+1)\omega) = \pm 1 \Rightarrow (N+1)\omega = k\pi$

$\Leftrightarrow \omega_k = \frac{k\pi}{N+1}$, Βρίσκω λοιπόν $N+2$ συχνωτικά σφάλμα που ικανοποιούν το θεώρημα της ελαττώσεως, άρα το φίλτρο είναι min-max βελτιστό, $k=0, \dots, N+1$

Από τα ποσώνουφα Chebyshev, $d[n+1] \cos^{N+1}(\omega) = \frac{d[n+1]}{2^{N+1-1}} \cos((N+1)\omega) + \dots$ { $\cos^k(\omega)$, $k < N+1$ }

Άρα το μέγιστο σφάλμα είναι $\frac{d[N+1]}{2^N}$, αφού την επίδραση των άλλων όρων $\cos(k\omega)$ του λάβαρε υπόψιν στα $\hat{d}[n]$ που ορίσαμε.

β) Υπό την έννοια των ελάχιστων τετράγωνων,

ακολουθώ την γνωστή διαδικασία, με βέβαιες Fourier και χρησιμοποιώντας τις

- $D(\cdot)$ πραγματική, άρα $h[n] = \frac{1}{2n} \int_{-n}^{+n} D(\cdot) \cos(n\omega) d\omega$
- $\cos(n\omega) \cos(l\omega) = \frac{1}{2} \cos((n+l)\omega) + \frac{1}{2} \cos((n-l)\omega)$

καταλήγω σε ως ίδιος συντελεστής. Άρα ίδιο σφάλμα.

* Παραλλαγή $D(\omega) = \sum_{n=0}^{N+1} d[n] \underbrace{[\cos^2(\frac{\omega}{2}) - \sin^2(\frac{\omega}{2})]}_{\cos(\omega)}$, άρα ίδια άσκηση

2.7 "Σχεδιάστε αναλογικό, ανωπέρατο φίλτρο Butterworth τάξης 3 και συχνότητας αποκοπής $\omega_c = \frac{3}{2}$ "

Αν: Το ανωπέρατο έχει $\omega_c = \frac{3}{2}$, άρα το αντίστοιχο κατωπέρατο έχει $\omega'_c = \frac{1}{\omega_c} = \frac{2}{3}$

Το κανονικοποιημένο κατωπέρατο τάξης $L=3$ έχει $H(s) = \frac{1}{(s-s_0)(s-s_1)(s-s_2)}$

Για $s \rightarrow -\frac{s}{\frac{2}{3}}$ γίνεται $H'(s) = \frac{\left(\frac{2}{3}\right)^3}{(s-\frac{2}{3}s_0) \dots (s-\frac{2}{3}s_2)}$

Τέλος, για να γίνει ανωπέρατο, $s \rightarrow \frac{1}{s}$, ...

2.8 "Η συνάρτηση μεταφοράς αλληλών IIR είναι $H(s) = \frac{s+1}{s^2+s+6}$. Χρησιμοποιώντας την μέθοδο αμετάβλητης κλαστικής αποκοπής να γίνει ψηφιακό. Είναι ευσταθές;"

Αν: Έχω $H(s) = \frac{(s+1)}{(s+2)(s+3)} = \frac{A}{s+2} + \frac{B}{s+3} \Leftrightarrow \dots \Leftrightarrow H(s) = \frac{2}{s+2} - \frac{1}{s+3}$

- Άνο $L^{-1}\{\}$ $\Rightarrow h(t) = 2e^{-2t}u(t) - e^{-3t}u(t)$
- Δειγματοληψία των $h(t)$ με T_s και προκύπτει $h[n] = h(nT_s) = (2e^{-3nT_s} - e^{-2nT_s})u[n]$
- Μπορώ να θεωρήσω (από θεωρία βιβλίο) $T_s = 1$

Άρα $h[n] = 2e^{-3n}u[n] - e^{-2n}u[n] \xrightarrow{ZPT} \frac{2}{1-e^{-3}z^{-1}} - \frac{1}{1-e^{-2}z^{-1}} = H(z)$

Οι πόλοι της $H(z)$ είναι $z_1 = e^{-3}$ και $z_2 = e^{-2}$, με $|z_1| < 1$, $|z_2| < 1$ άρα το ψηφιακό φίλτρο είναι ευσταθές.

2.9 " Υποθέστε πως στην αποκριση μετρου στο τετραγωνο ενός κανονικοποιημενου κτω-
περατου φιλτρου Butterworth 3^{ης} ταξης κινουμε αντικατασταση $\omega^3 \leftarrow \omega^3 - 0,75\omega$.
α) Τι φιλτρο προκωνται; β) Υπαξιωσε το σφαιρα σκω για διαβασει του φιλτρου.

Αν: Έχω $|H_B(j\omega)|^2 = \frac{1}{1 + (\omega^3)^2}$

Χανω την αντικατασταση και παρω $|H'(j\omega)|^2 = \frac{1}{1 + (\omega^3 - \frac{3}{4}\omega)^2} = \frac{1}{1 + (\frac{1}{4})^2(4\omega^3 - 3\omega)^2}$

Ανο το πολωνυμο Chebyshev έχω: $T_0(\omega) = 1$, $T_1(\omega) = \omega$, $T_2(\omega) = 2\omega^2 - 1$,

$T_3(\omega) = 4\omega^3 - 2\omega - \omega = 4\omega^3 - \omega$.

Αρα $|H'(\omega)|^2 = \frac{1}{1 + (\frac{1}{2})^2(T_3(\omega))^2}$

Αρα προκωνται ένα φιλτρο chebyshev 3^{ης} ταξης!
με $\epsilon = \frac{1}{4}$. Τα υπολοιπα γιατα ανο θεωρια...

C.R.

... ..
... ..
... ..

... ..

... ..

... ..

... ..

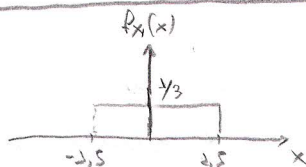
3ο ΜΕΡΟΣ

(ΚΕΦ 8, 9)

3.1 " Έστω X_1, X_2 ανεξάρτητες Γ.Μ. ακολουθιών των $U[-1.5, 1.5]$

- α) Να βρεθεί η joint pdf των X_1, X_2
- β) Να βρεθεί η pdf των $Y = X_1 + X_2$
- γ) Να βρεθεί η βέβαιη τιμή και η διασπορά των X_1, X_2, Y . "

Απ: α) Η X_1 έχει pdf
πράγματι $f_{X_1} = f_{X_2}$



Αφού X_1, X_2 ανεξάρτητες, $f_{X_1, X_2}(x_1, x_2) = f_{X_1}(x_1) f_{X_2}(x_2)$, η οποία ως συνάρτηση 2 μεταβλητών χρειάζεται $x-y-z$ επίπεδο για να παρασταθεί.

β) Στο διακριτή περίπτωση, αφού X_1, X_2 ανεξάρτητες:

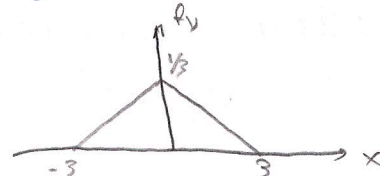
$$f_Y(x) = \Pr\{Y=x\} = \sum_{m=-\infty}^{+\infty} \Pr\{X_1=m\} \Pr\{X_2=x-m\}$$

αφού σε όλες τις περιπτώσεις
 $X_1 + X_2 = m + x - m = x$

$$= \sum_{m=-\infty}^{+\infty} f_{X_1}(m) f_{X_2}(x-m) = f_{X_1}(x) * f_{X_2}(x)$$

Γενικεύοντας στην συνεχή περίπτωση ισχύει το ίδιο, δηλ $f_Y(x) = f_{X_1}(x) * f_{X_2}(x)$

Αρα η πρ. παραστάση της $f_Y(x)$ είναι:



γ) Ό,τι βρω για την X_1 ισχύει και για την X_2 .

$$Εξω \quad \mu_{X_1} = \int_{-\infty}^{+\infty} x f_{X_1}(x) dx = \int_{-1.5}^{+1.5} x \frac{1}{3} dx = \frac{1}{3} \left[\frac{x^2}{2} \right]_{-1.5}^{+1.5} = 0$$

$$\text{Αφού } Y = X_1 + X_2 \implies E[Y] = E[X_1] + E[X_2] = 0$$

$$\text{Τώρα } \sigma_{X_1}^2 = \sigma_{X_2}^2 = \int_{-\infty}^{+\infty} (x - \mu_x)^2 f_X(x) dx = \frac{1}{3} \int_{-1.5}^{+1.5} x^2 dx = \frac{1}{3} \left[\frac{x^3}{3} \right]_{-1.5}^{+1.5} = 0.75$$

Οφείωτ δουλέω για την Y

3.2 " Na χαρακτηριστεί ως προς την σταθιότητα το $x(t) = A \sin(\omega_0 t)$, $A \sim U[-1, 1]$, "

Αν: Αρχικά εφετάζω ως προς την ισόμορη σταθιότητα. Για να είναι ισχ. σταθιμ, πρέπει η pdf να μην αλλάξει με τον χρόνο

Εδώ $A \sim U[-1, 1]$ άρα $A \sin(\omega_0 t) \sim U[-\sin(\omega_0 t), +\sin(\omega_0 t)]$ Άρα όχι.

• 0s προς αβθενή σταθιότητα 1^{sr} τάξης θεωρώ η βρεθ τιμή να μην είναι συνάρτηση του χρόνου. Πραγματοί $E[x(t)] = E[A \sin(\omega_0 t)] = \sin(\omega_0 t) \underbrace{E[A]}_0 = 0$. Άρα είναι.

• Για αβθενή σταθιότητα 2^{sr} τάξης θεωρώ: R_x ανεξαρτητή του χρόνου

$$\begin{aligned} R_x(t_1, t_2) &= E[(x(t_1) - \bar{x})(x(t_2) - \bar{x})] = E[x(t_1)x(t_2)] \\ &= E[A^2 \sin(\omega_0 t_1) \sin(\omega_0 t_2)] = \underbrace{E[A^2]}_{\sigma^2 \neq 0} \sin(\omega_0 t_1) \sin(\omega_0 t_2), \text{ Άρα όχι.} \end{aligned}$$

3.3 " Na εφεταστεί ως προς την σταθιότητα η $x(t) = A \sin(\omega_0 t + \theta)$ όπου $A \sim U[-1, 1]$ και $\theta \sim U[0, 2\pi]$, με A, θ ανεξαρτητες Τ.Μ "

Αν: • 0s προς ισόμορη σταθιότητα, με άωαλα επικαρηματα ως 3.2, Οχι.

• 0s προς αβθενή σταθιότητα 1^{sr} τάξης:

$$E[x(t)] = E[A \sin(\omega_0 t + \theta)] = \underbrace{E[A]}_{\text{ανεξαρτησία}} E[\sin(\omega_0 t + \theta)] = 0 \quad \text{Άρα ΝΑΙ}$$

$$\begin{aligned} \text{Αν δεν ήξερα } E[A]=0 \text{ τότε } E[\sin(\omega_0 t + \theta)] &= \int_0^{2\pi} \sin(\omega_0 t + \theta) f_{\theta}(\theta) d\theta \\ &= \frac{1}{2\pi} \int_0^{2\pi} \sin(\omega_0 t + \theta) d\theta = 0 \end{aligned}$$

• 0s προς αβθενή σταθιότητα 2^{sr} τάξης:

$$\begin{aligned} E[x(t_1)x(t_2)] &= E[A^2 \cos(\omega_0 t_1 + \theta) \cos(\omega_0 t_2 + \theta)] \\ &= E\left[A^2 \frac{1}{2} (\cos(\omega_0(t_1 - t_2)) - \cos(\omega_0(t_1 + t_2) + 2\theta))\right] \\ &= \frac{1}{2} E[A^2] \left[\cos(\omega_0(t_1 - t_2)) - \underbrace{E[\cos(\omega_0(t_1 + t_2) + 2\theta)]}_0 \right] \end{aligned}$$

$$= \underbrace{\frac{1}{2} E[A^2]}_{\text{σταθερά}} \cos(\omega_0(t_1 - t_2))$$

εφεταστεί μόνο ανά την τρ. διαφορά $t_1 - t_2$, άρα ΝΑΙ

3.6 " Δίνεται σήμα $x[n] = s[n] + w[n]$, όπου $\mu_s = \mu_w = 0$ και s, w αβιοχρησιμότητα.

Δίνονται επίσης οι συναρτήσεις πυκνότητας φάσματος $\phi_s(e^{j\omega}) = \begin{cases} 1, & |\omega| \leq \pi/3 \\ 0, & \text{αλλιώς} \end{cases}$ και $\phi_w(e^{j\omega}) = \begin{cases} 0, & |\omega| \leq \pi/2 \\ 0.1 \text{ αλλιώς} \end{cases}$. Να βρεθεί το βέλτιστο μη αντιστρεψίμο φίλτρο Wiener αν θέλουμε να προσδιορίσουμε το σήμα $s[n]$. "

Αν: Ξεράφει πως $H(e^{j\omega}) = \frac{\phi_s(e^{j\omega})}{\phi_s(e^{j\omega}) + \phi_w(e^{j\omega})} = \begin{cases} 1, & |\omega| \leq \pi/3 \\ 0/0, & \pi/3 < |\omega| < \pi/2 \\ 0, & \pi/2 < |\omega| \end{cases}$

Στο $(\pi/3, \pi/2)$ έχουμε απροσδιοριστία. Μπορούμε σκεφτείμε:

- $H(\cdot) = 0$, βέλτιστο αλλα όχι υλοποιήσιμο
- Η μεταβιβάσει γραμμικά από το 1 στο 0. Υλοποιήσιμο, με μικρότερο φαινομενικό σφάλμα

3.7 " Μία αυτο-реgressive διαδικασία τάξης p χρησιμοποιεί τις p προηγούμενες εφόρους για να προβλέψει την τρέχουσα. Όταν οδηγείται με άσπρο θόρυβο $w[n]$, τότε δίνει εφόδος $y[n] = -\sum_{k=1}^p \alpha[k]y[n-k] + w[n]$. Αν $\mu_w = 0$ και σ_w^2 τότε να βρεθεί η διασπορά και η αυτοσυνάρτηση αυτοσυνολοκλήσιμης της διαδικασίας

Αν: Έχουμε $\mu_y = 0$, αφού προφοδοσω το σήμα που αντιστοιχεί στην AR διαδικασία με σήμα μηδενικά μεσο όρου ($\mu_w = 0$)

Η διασπορά της $y[n]$ δίνει από την σχέση $E[(y[n] - \mu_y)^2] = E[y[n]^2] = r_{yy}(0)$.

$$G_1) \xrightarrow{y[n-l]} y[n]y[n-l] = -\sum_{k=1}^p \alpha[k] y[n-k]y[n-l] + y[n-l]w[n]$$

$$\xrightarrow{E[\cdot]} E[\quad] = -\sum_{k=1}^p \alpha[k] E[\quad] + E[\quad]$$

$$\Rightarrow r_{yy}[l] = -\sum_{k=0}^p \alpha[k] r_{yy}[l-k] + r_{wy}[l]$$

$$\text{Γκω τωρα } r_{wy}[l] = E[w[n]y[n-l]] = E[w[n](w[n-l] - \alpha[1]y[n-l-1] - \dots)]$$

$$= E[w[n]w[n-l]] = \sigma_w^2 \delta[l]$$

$$\text{Αρα } r_{yy}[l] = -\sum_{k=1}^p \alpha[k] r_{yy}[l-k] + \sigma_w^2 \delta[l]$$

$$\text{Συνολως } \sigma_y^2 = r_{yy}[0] = -\sum_{k=1}^p \alpha[k] r_{yy}[k] + \sigma_w^2$$